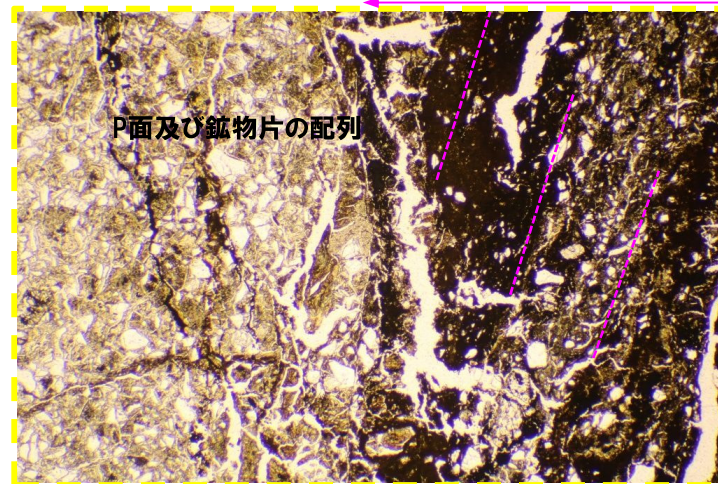


## F-1断層の可能性を有する劣化部

R1敷地-4ボーリング (48.39m) - 傾斜方向薄片観察結果 (2/2) -

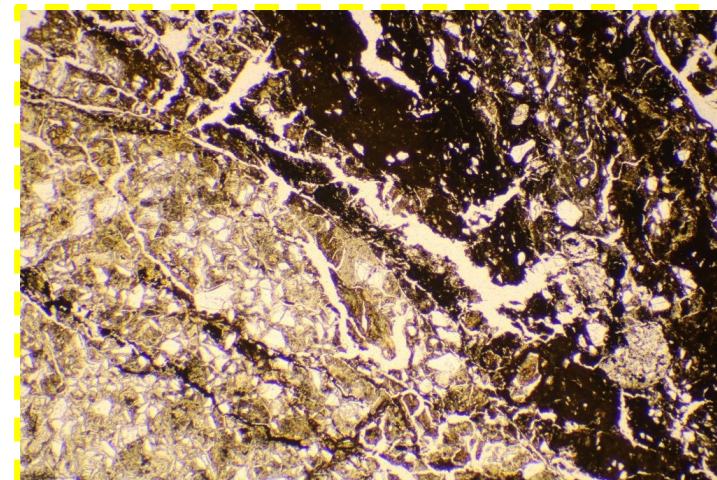
再掲 (R1/11/7審査会合)

最新活動ゾーン



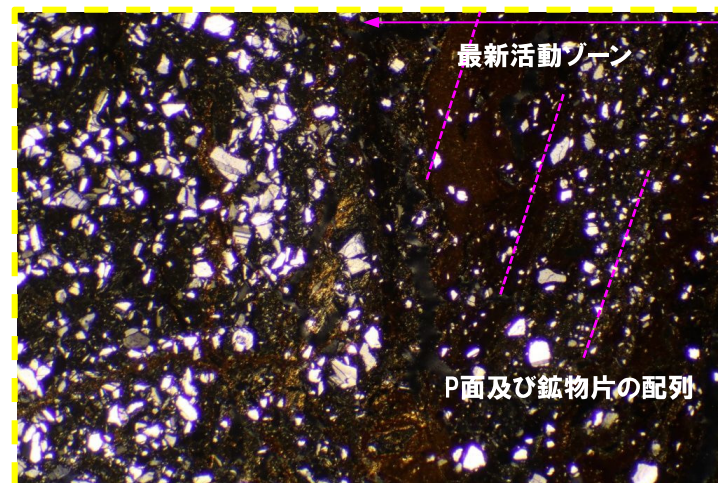
オープンニコル

1mm



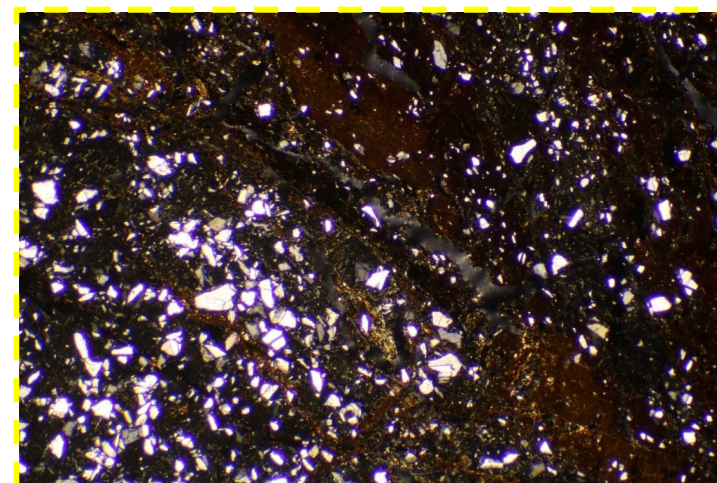
オープンニコル (左に45° 回転)

1mm



クロスニコル

1mm



クロスニコル (左に45° 回転)

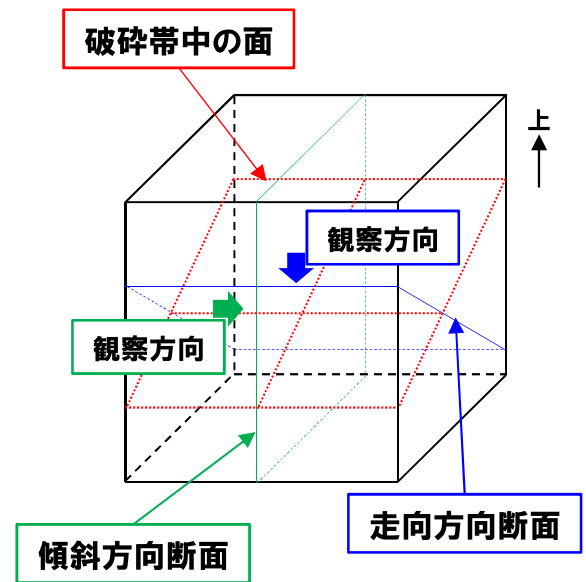
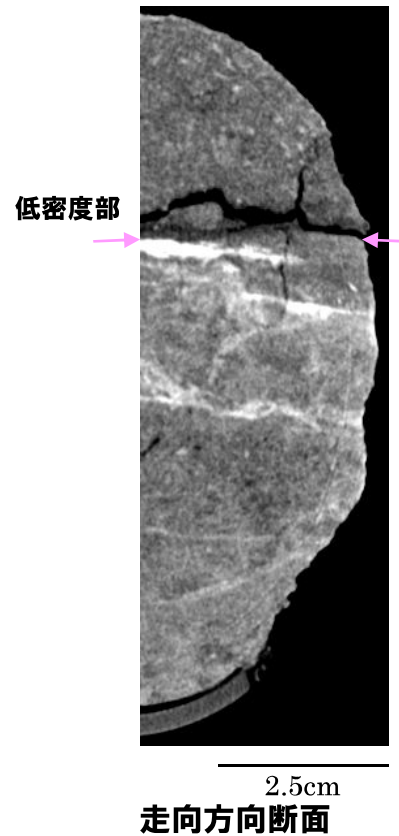
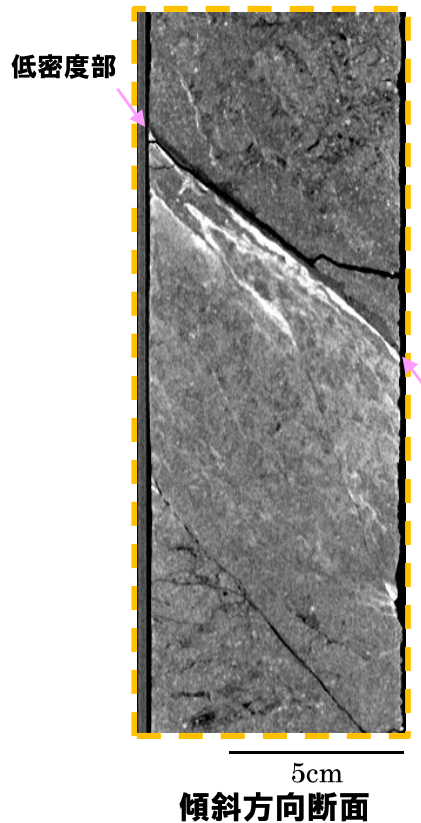
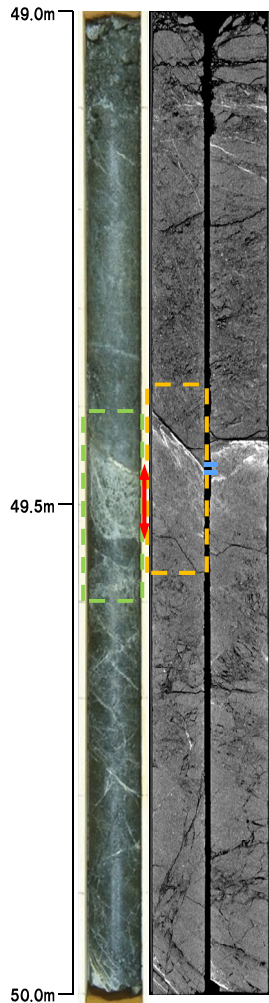
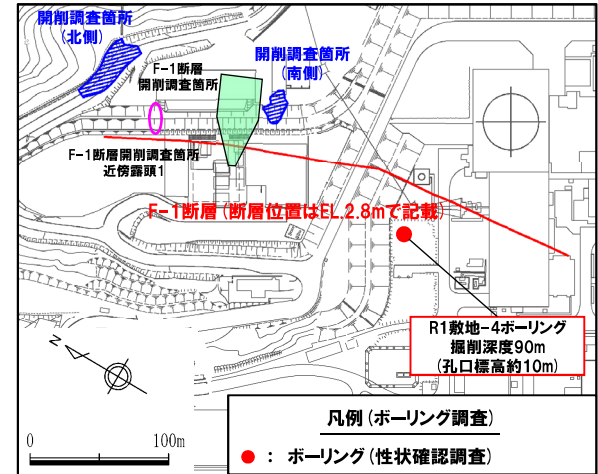
1mm

# F-1断層の可能性を有する劣化部

## R1敷地-4ボーリング (49.45m) -X線CT画像観察結果-

一部修正 (R1/11/7審査会合)

○X線CT画像観察の結果, 連続する直線的な低密度部が認められる。



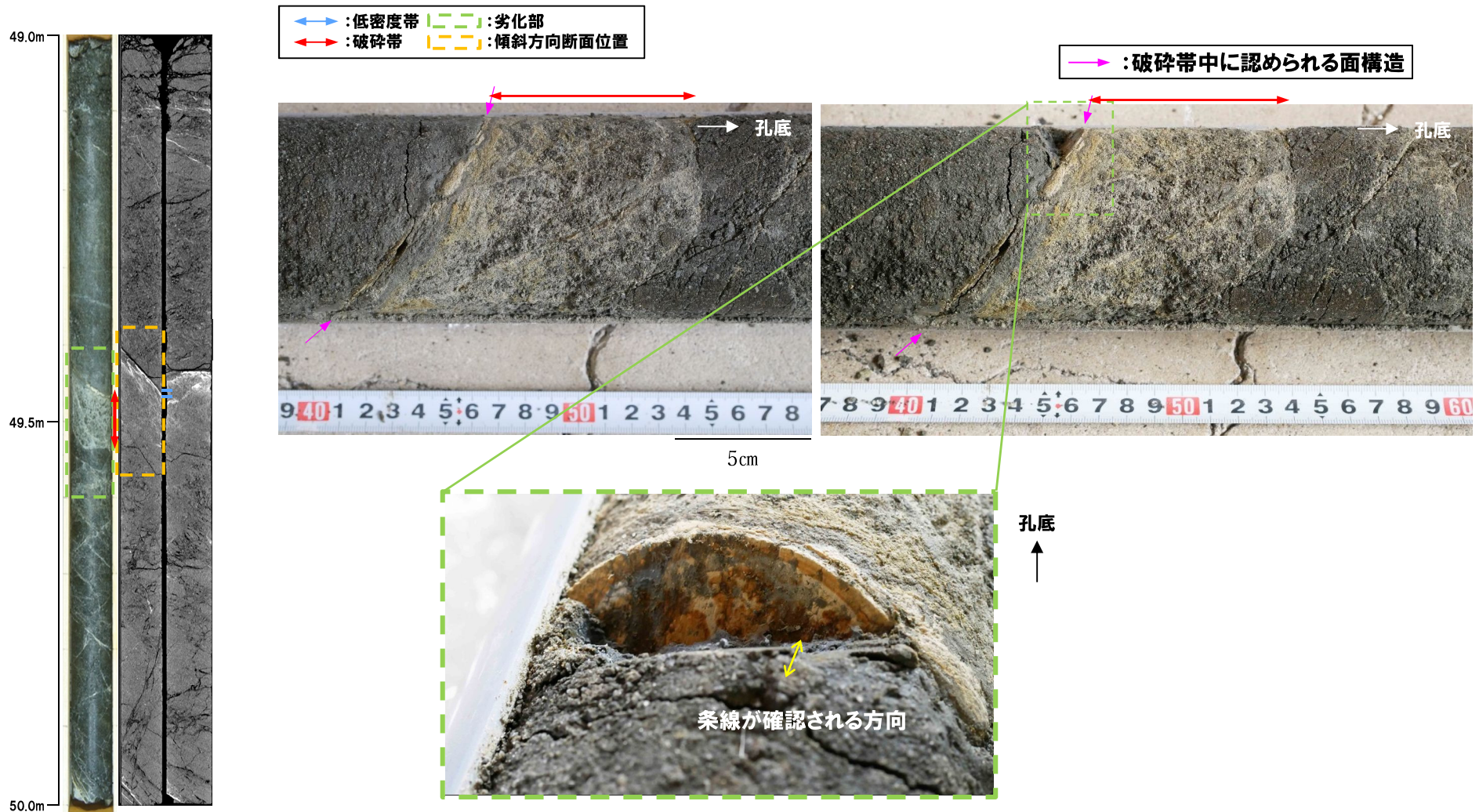
← : 低密度帯    |    | : 劣化部  
 → : 破碎帯    |    | : 傾斜方向断面位置

# F-1断層の可能性を有する劣化部

R1敷地-4ボーリング(49.45m)-条線観察結果-

再掲(R1/11/7審査会合)

- 破碎帯中に認められる面構造を浅部側から深部側へ観察を行った。
- 厚さ約7~11mmの軟質粘土の挟在が認められる。
- 最急勾配方向と約15°斜交する条線が認められ、浅部から深部方向に読み直すとレイク角は75°Lとなる。

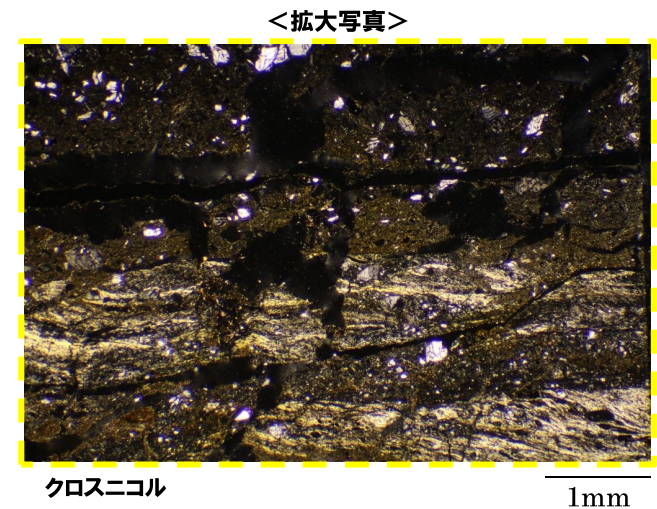
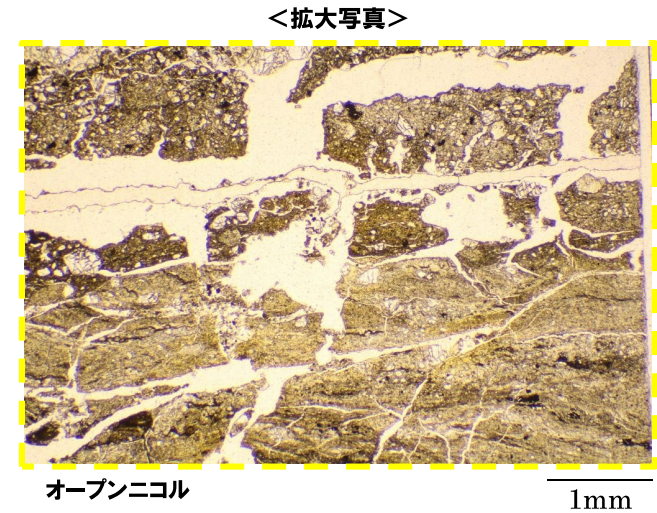
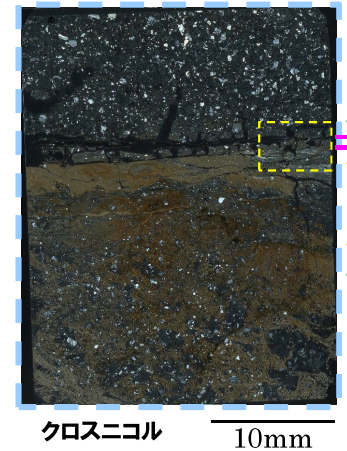
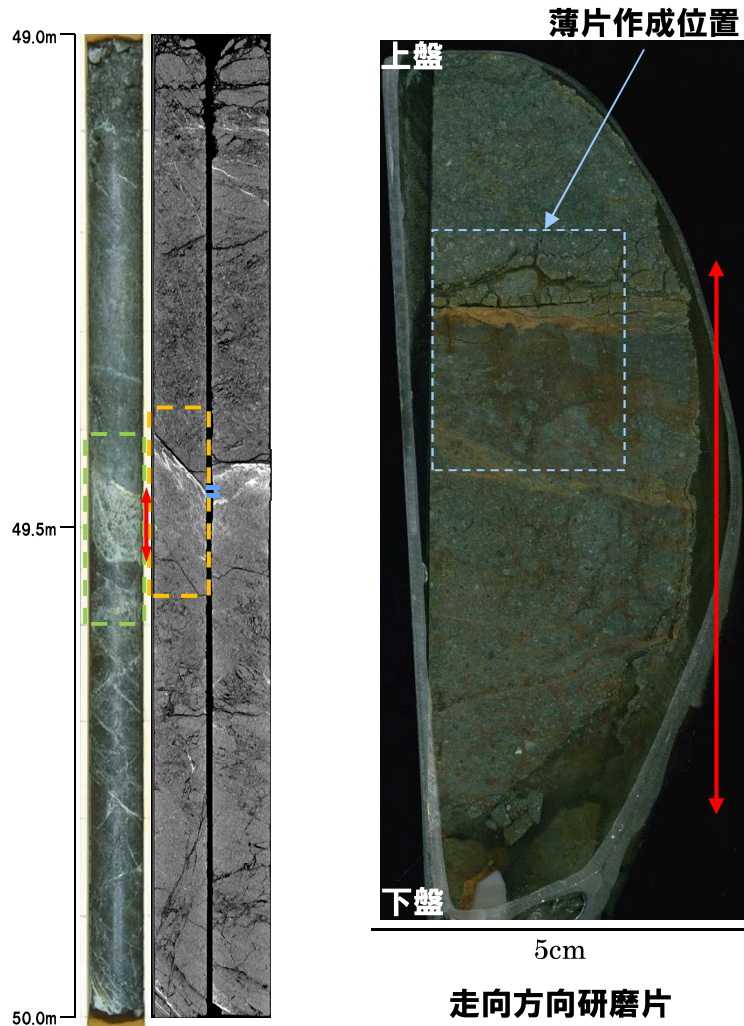


# F-1断層の可能性を有する劣化部

R1敷地-4ボーリング (49.45m) - 走向方向薄片観察結果 (1/2) -

再掲 (R1/11/7審査会合)

- 粘土状破碎部はやや不明瞭なものの、直線的に分布する。
- 変位センスを示す明瞭な複合面構造は認められない。



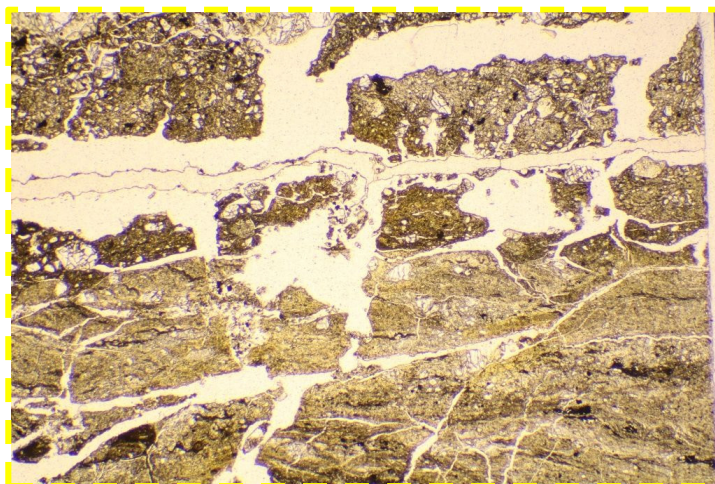
← 低密度帯    | 劣化部  
 → 破碎帯    | 傾斜方向断面位置

← 粘土状破碎部  
 → 固結した砂状破碎部  
 ← 固結した角礫状破碎部

**F-1断層の可能性を有する劣化部**

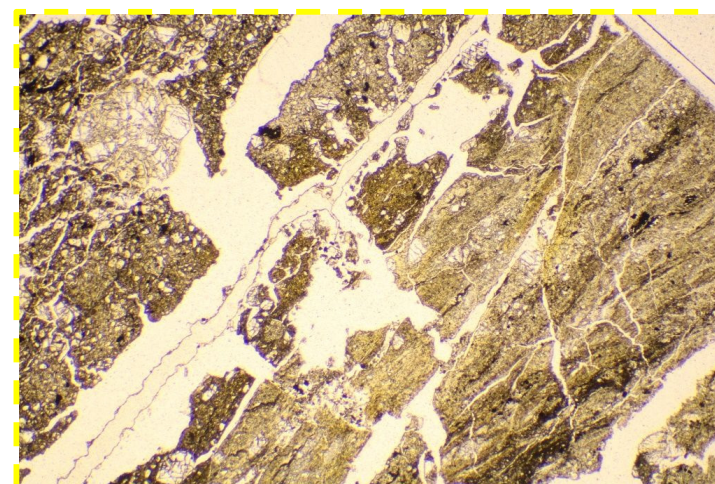
R1敷地-4ボーリング (49.45m) - 走向方向薄片観察結果 (2/2) -

再掲 (R1/11/7審査会合)



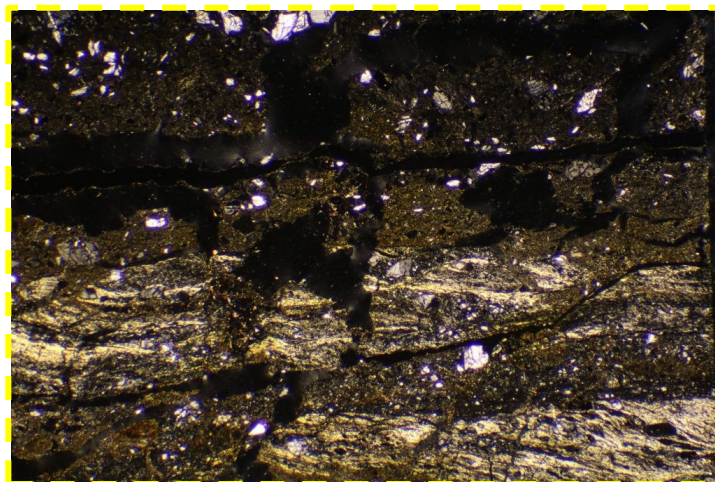
オープンニコル

1mm



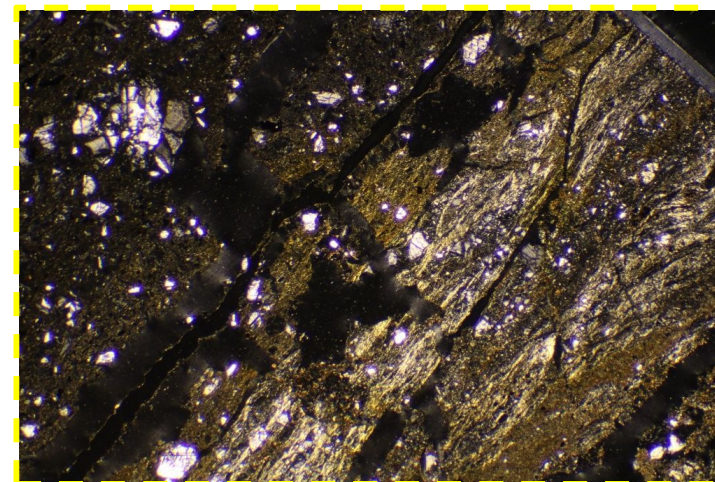
オープンニコル (左に45° 回転)

1mm



クロスニコル

1mm



クロスニコル (左に45° 回転)

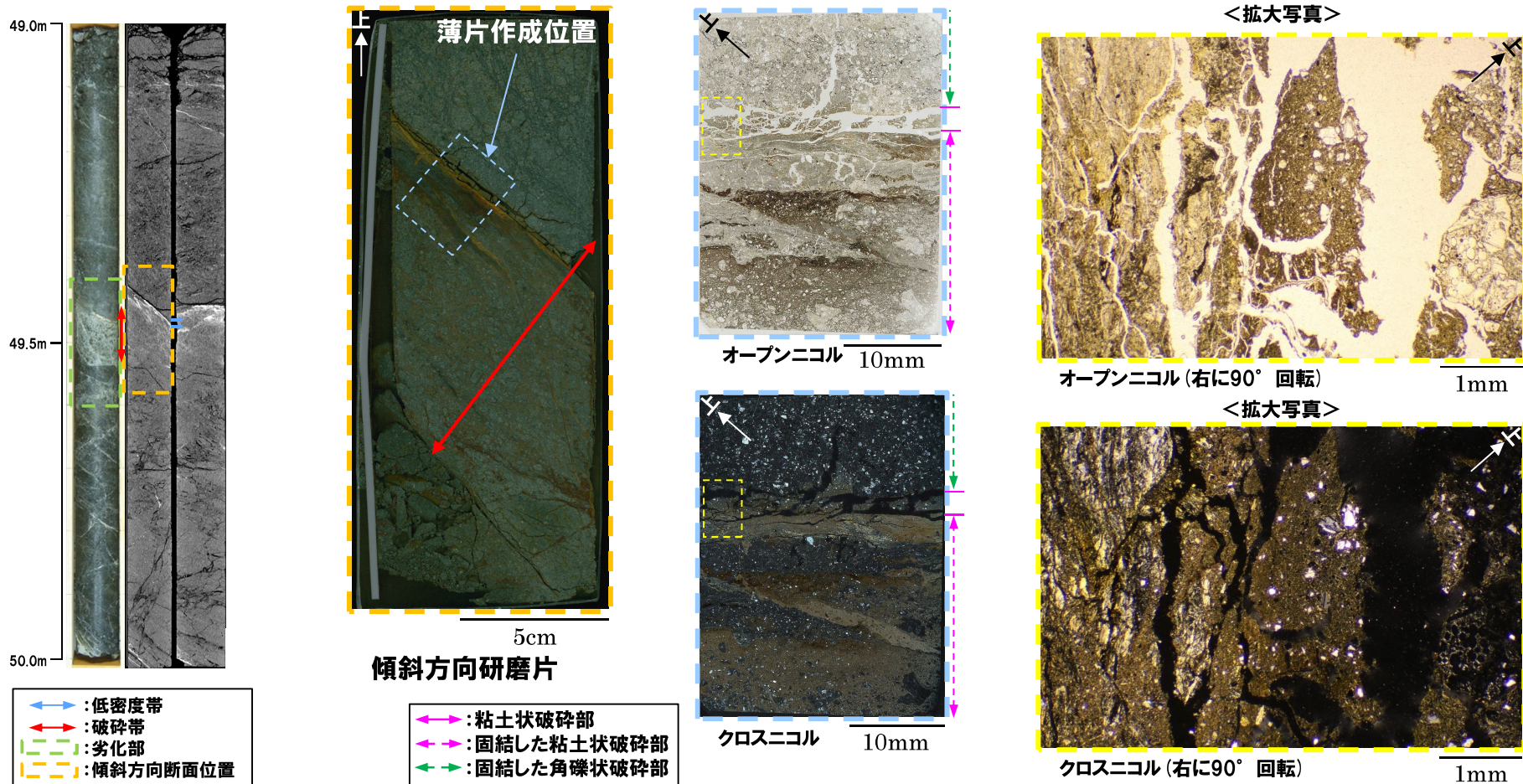
1mm

# F-1断層の可能性を有する劣化部

R1敷地-4ボーリング (49.45m) - 傾斜方向薄片観察結果 (1/2) -

再掲 (R1/11/7審査会合)

- 粘土状破碎部はやや不明瞭なものの、直線的に分布する。
- 粘土状破碎部周辺及びその上盤側では、逆断層センスを示す鉱物片の配列が認められる。

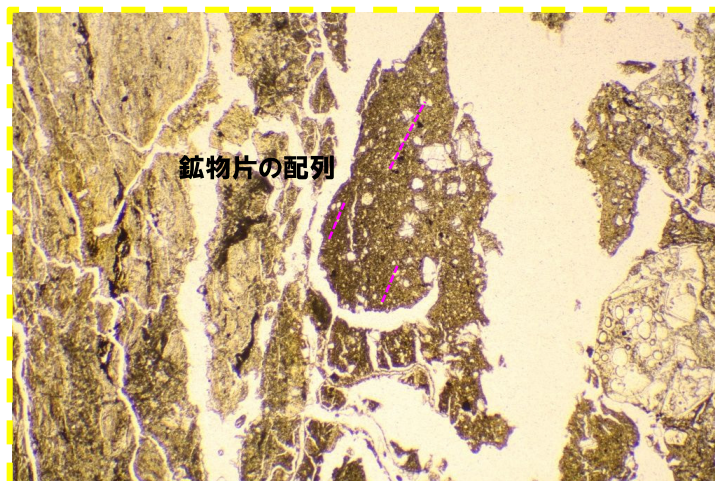


○X線CT画像観察, 条線観察及び薄片観察の結果, 当該破碎帯はF-1断層の最新活動部であると判断される。

## F-1断層の可能性を有する劣化部

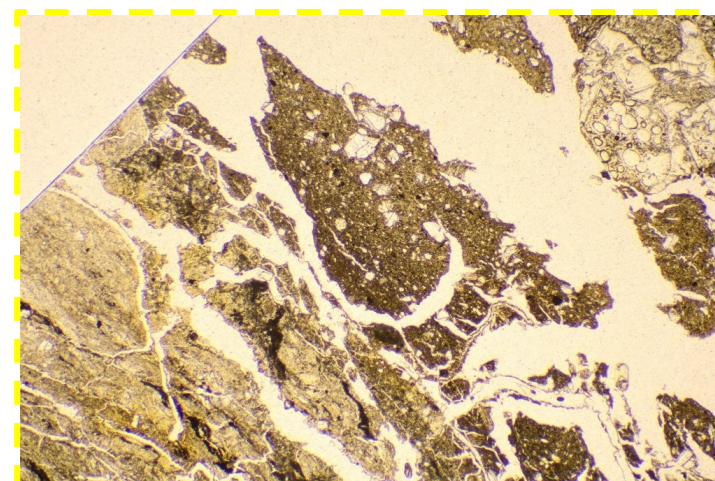
R1敷地-4ボーリング (49.45m) - 傾斜方向薄片観察結果 (2/2) -

再掲 (R1/11/7審査会合)



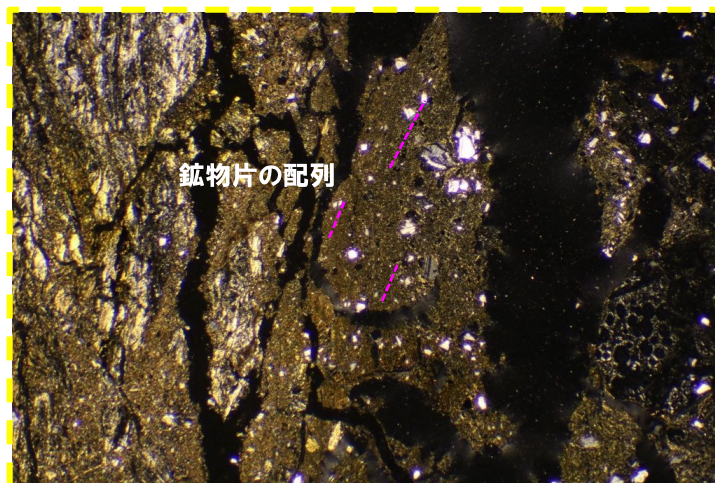
オープンニコル

1mm



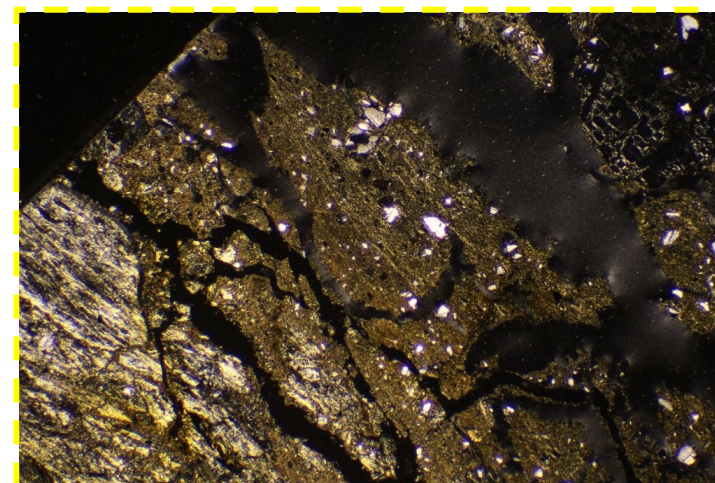
オープンニコル (左に45° 回転)

1mm



クロスニコル

1mm



クロスニコル (左に45° 回転)

1mm

**R1敷地-5ボーリング**



## F-1断層の可能性を有する劣化部

### R1敷地-5ボーリング-まとめ-

再掲 (R1/11/7審査会合)

- R1敷地-5ボーリング地点は、1,2号炉調査においてF-1断層が確認されない範囲に位置する。
- F-1断層推定深度(約20m)付近において、劣化部※は認められない。
- 推定深度よりも約20m深い位置(深度約37m)には、含泥岩礫凝灰岩中に、F-1断層の性状とは異なる「硬質な粘土を挟在する割れ目」が認められる。
- 当該箇所に挟在する粘土は硬質であることから劣化部に認定されないが、当該割れ目は、走向・傾斜がN29° W/50° W及びN1° E/50° Wであり、F-1断層と類似することから、当該割れ目中の深度37.04m及び37.19mに認められる面構造について、X線CT画像観察、条線観察及び薄片観察により、変位センス及び性状を確認した。
- なお、F-1断層の南端については、1,2号炉調査時に地表地質踏査(露頭A(波食棚)及び露頭B(海食崖))を実施し、F-1断層が認められないことを確認している。

- R1敷地-5ボーリング調査の結果、当該割れ目は各種観察において以下のような特徴が認められる。

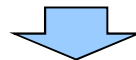
#### 深度37.04m

- ・ボーリングコア観察の結果、硬質な粘土を挟在する。
- ・X線CT画像観察の結果、連続する直線的な低密度部は認められない。
- ・条線観察の結果、平滑な面構造が認められるが、条線及び鏡肌は認められない。
- ・粘土状破碎部周辺では、逆断層センスを示す複合面構造が認められる。

#### 深度37.19m

- ・ボーリングコア観察の結果、硬質な粘土を挟在する。
- ・X線CT画像観察の結果、連続する直線的な低密度部は認められない。
- ・条線観察の結果、平滑な面構造が認められるが、条線及び鏡肌は認められない。
- ・薄片観察の結果、粘土状破碎部周辺では、左横ずれ逆断層センスを示す複合面構造が認められる。

※未固結な粘土を挟在若しくは付着する割れ目及びその周辺に分布する節理、裂かを伴う帯



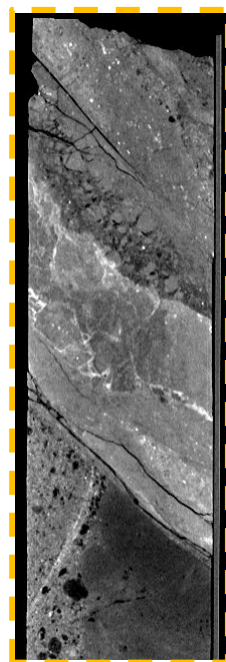
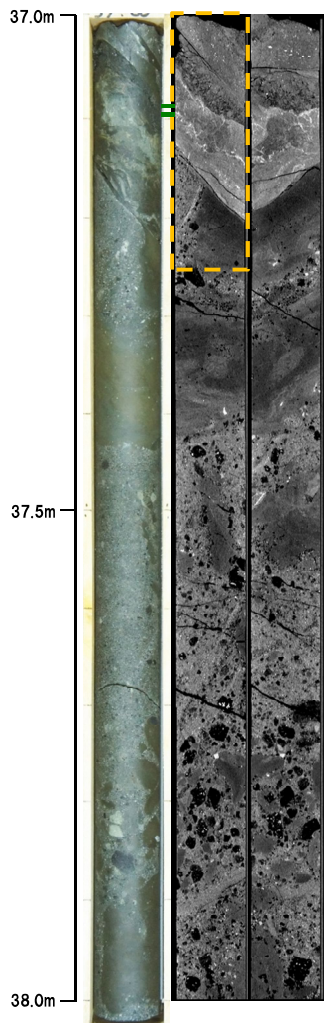
- 当該割れ目は、逆断層センスを示す複合面構造が認められるが、粘土は硬質であることが、X線CT画像観察においても確認されることから、当該割れ目が劣化部に認定されないとの評価は妥当と考えられる。

# F-1断層の可能性を有する劣化部

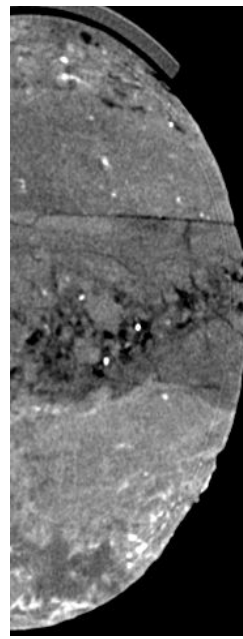
R1敷地-5ボーリング (37.04m) -X線CT画像観察結果-

一部修正 (R1/11/7審査会合)

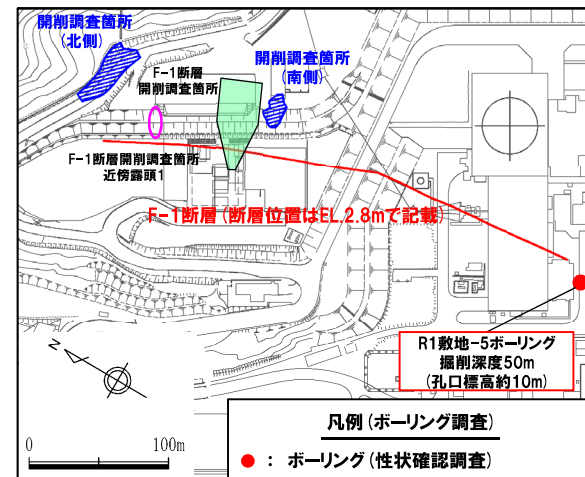
○X線CT画像観察の結果, 連続する直線的な低密度部は認められない。



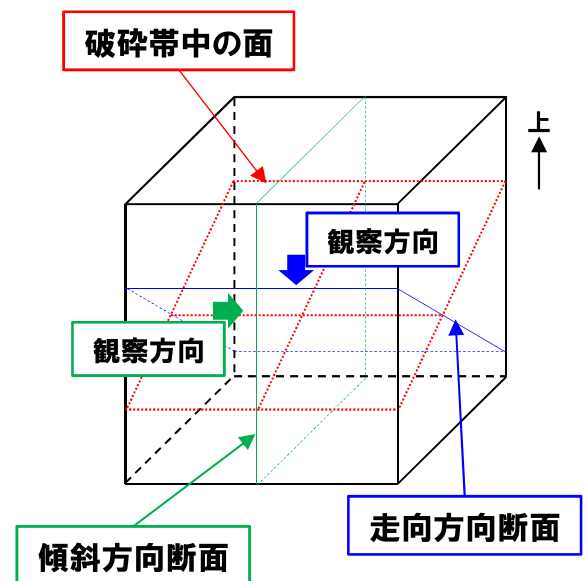
5cm  
傾斜方向断面



2.5cm  
走向方向断面



調査位置図



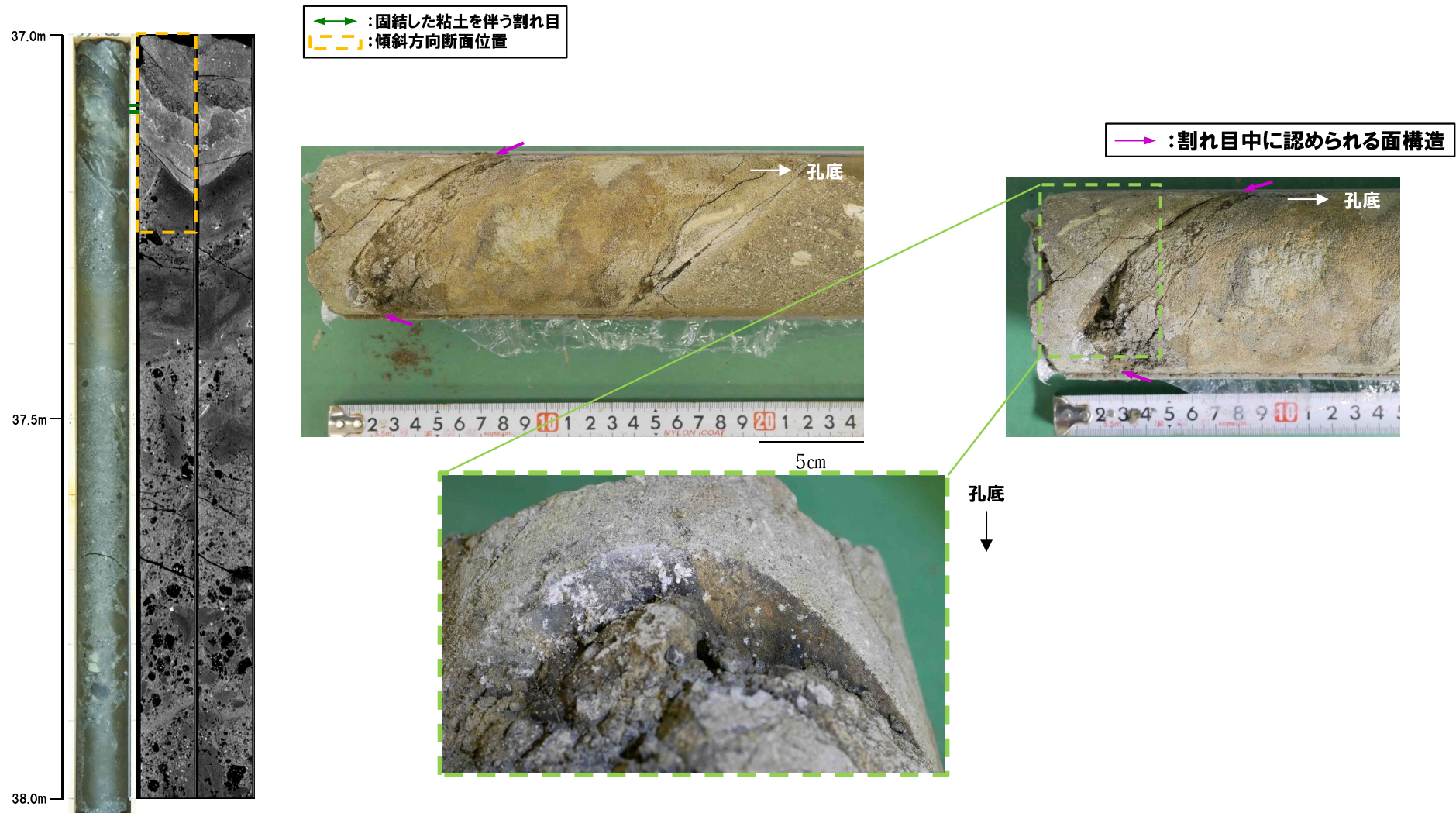
: 固結した粘土を伴う割れ目  
 : 傾斜方向断面位置

# F-1断層の可能性を有する劣化部

R1敷地-5ボーリング (37.04m) -条線観察結果-

再掲 (R1/11/7審査会合)

- 割れ目中の面構造を深部側から浅部側へ観察を行った。
- 硬質粘土の挟在が認められる。
- 当該面は平滑に剥離するものの、条線及び鏡肌は認められない。

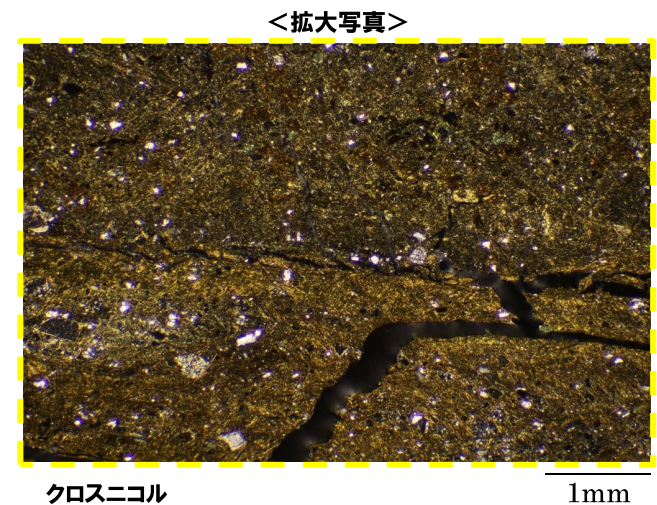
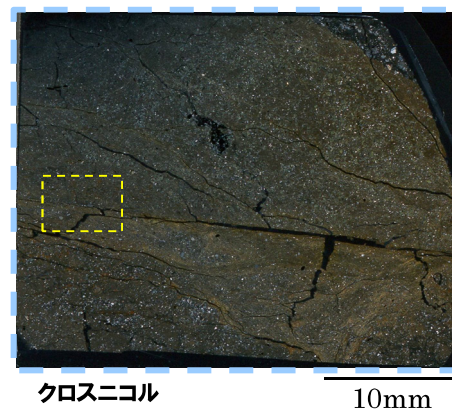
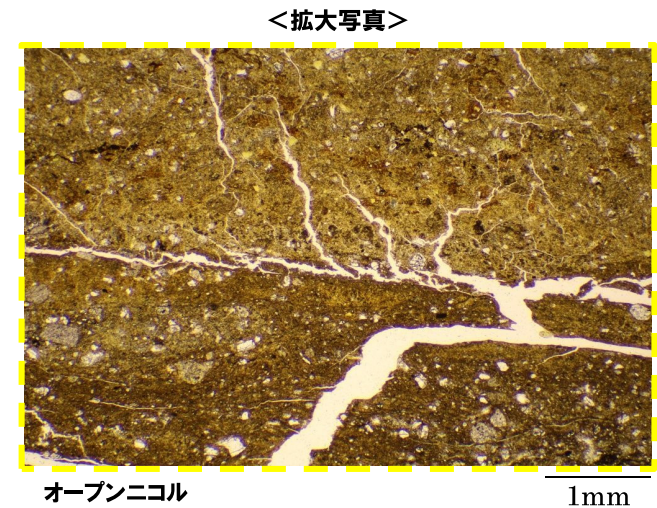
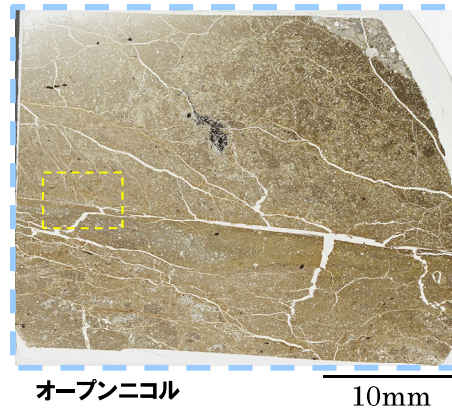
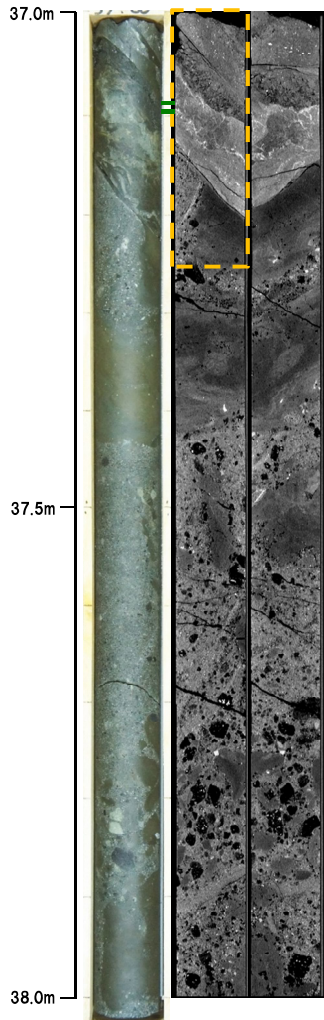


# F-1断層の可能性を有する劣化部

R1敷地-5ボーリング (37.04m) -走向方向薄片観察結果 (1/2) -

再掲 (R1/11/7審査会合)

- 固結した粘土状破碎部は、直線的に分布する。
- 変位センスを示す明瞭な複合面構造は認められない。



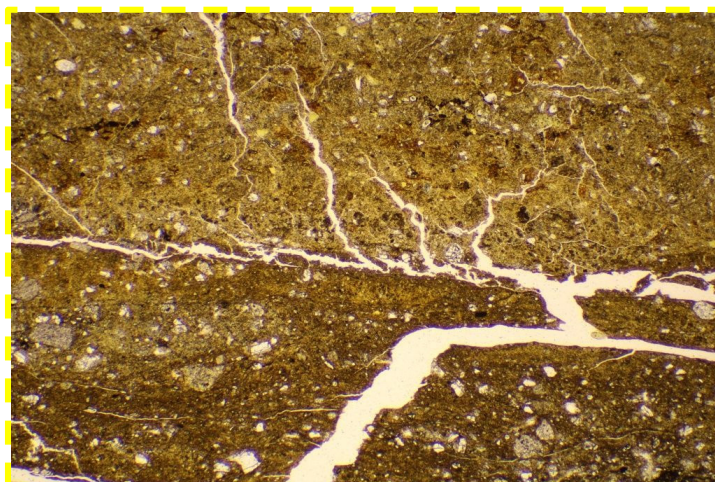
←→ : 固結した粘土を伴う割れ目  
 - - - : 傾斜方向断面位置

↔ : 固結した粘土状破碎部

# F-1断層の可能性を有する劣化部

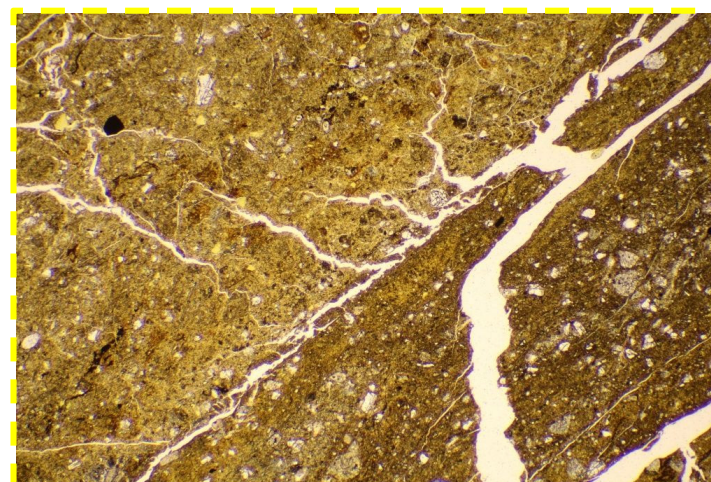
R1敷地-5ボーリング (37.04m) - 走向方向薄片観察結果 (2/2) -

再掲 (R1/11/7審査会合)



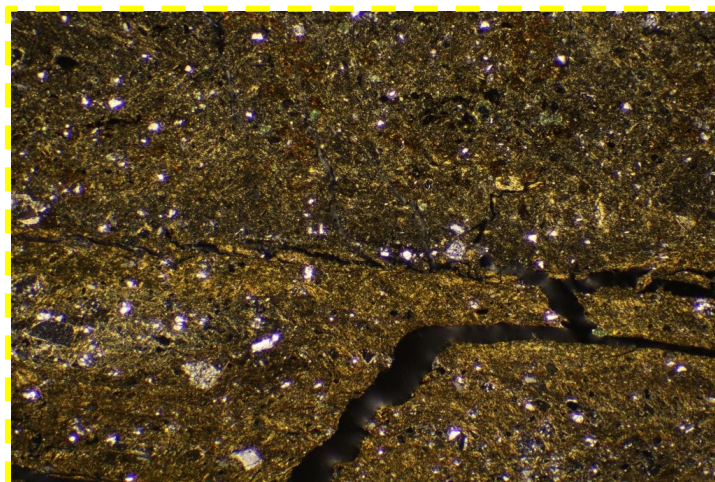
オープンニコル

1mm



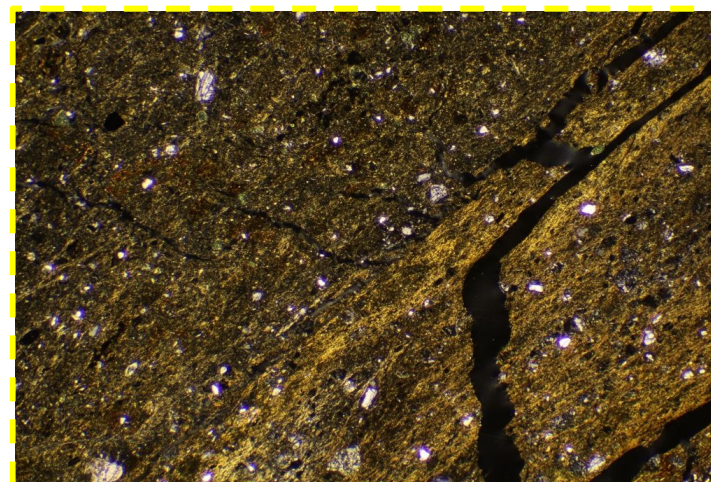
オープンニコル (左に45° 回転)

1mm



クロスニコル

1mm



クロスニコル (左に45° 回転)

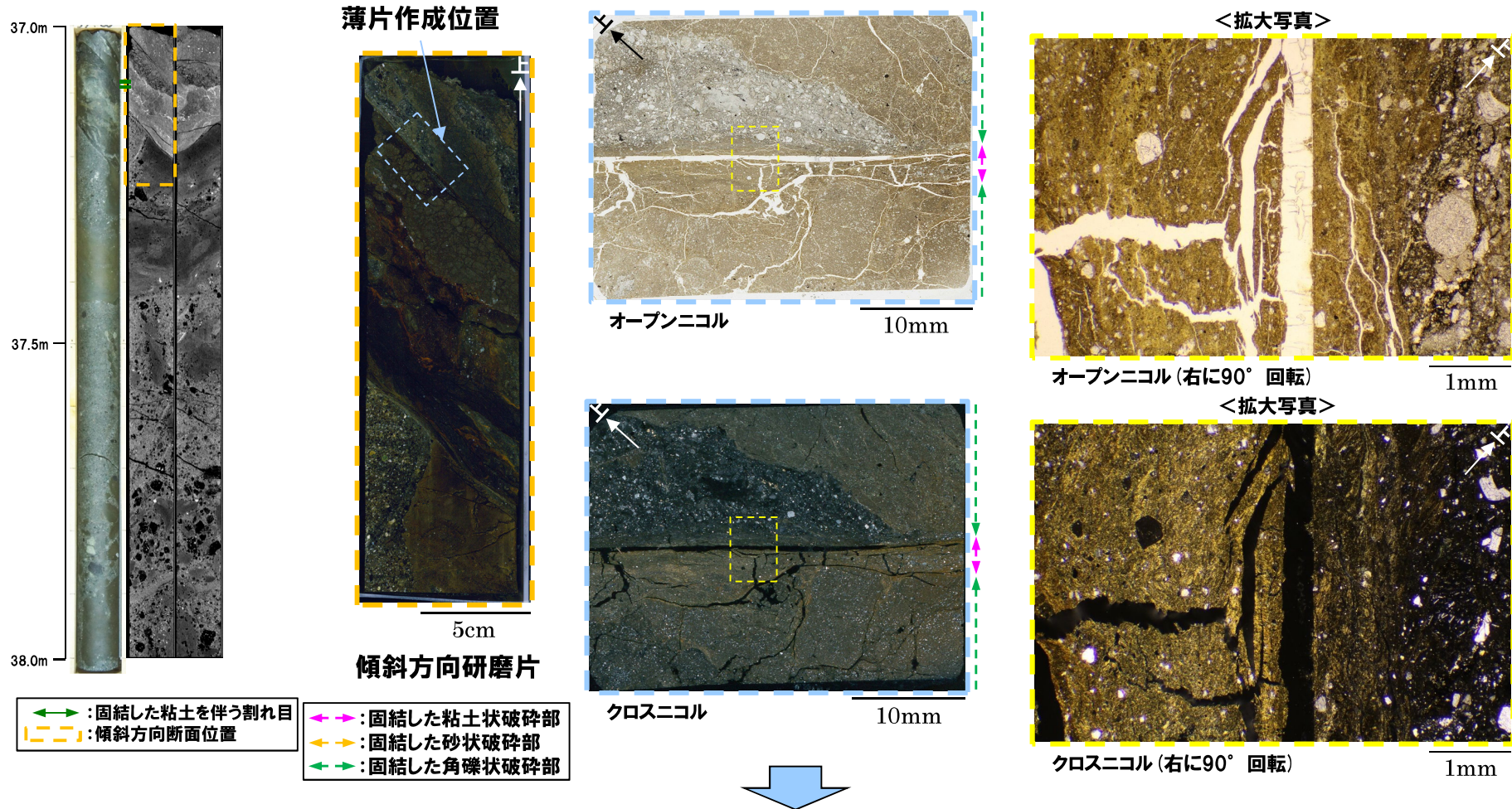
1mm

# F-1断層の可能性を有する劣化部

R1敷地-5ボーリング (37.04m) - 傾斜方向薄片観察結果 (1/2) -

再掲 (R1/11/7審査会合)

- 固結した粘土状破碎部は直線的に連続し、周辺では細粒化が認められる。
- 粘土状破碎部周辺では、逆断層センスを示すP面が認められる。

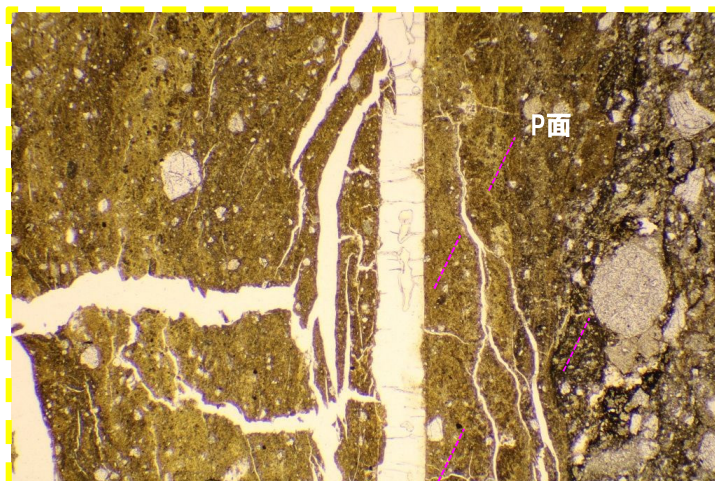


○ 当該割れ目は、逆断層センスを示す複合面構造が認められるが、粘土は硬質であることが、X線CT画像観察においても確認されることから、当該割れ目が劣化部に認定されないとの評価は妥当と考えられる。

## F-1断層の可能性を有する劣化部

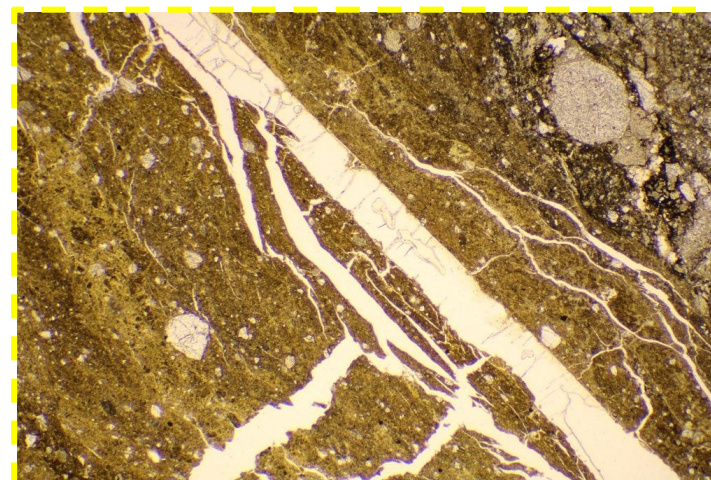
R1敷地-5ボーリング (37.04m) - 傾斜方向薄片観察結果 (2/2) -

再掲 (R1/11/7審査会合)



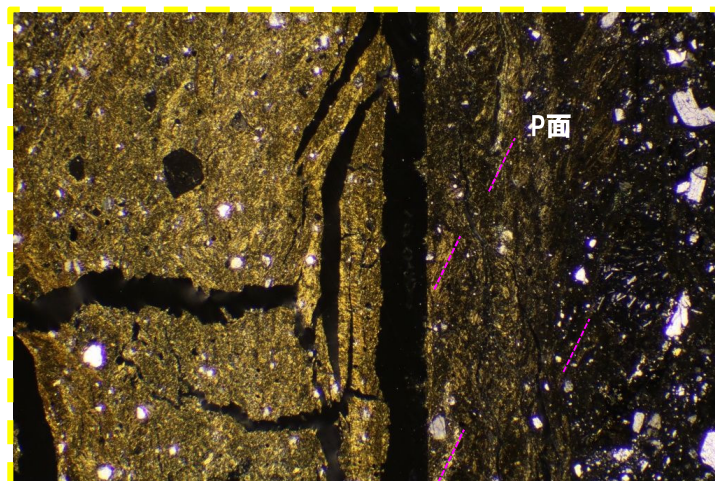
オープンニコル

1mm



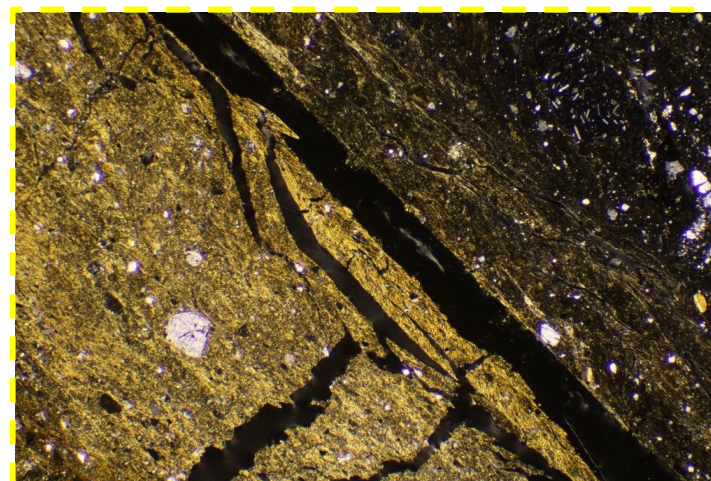
オープンニコル (左に45° 回転)

1mm



クロスニコル

1mm



クロスニコル (左に45° 回転)

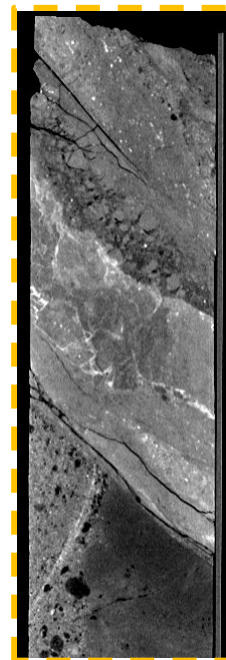
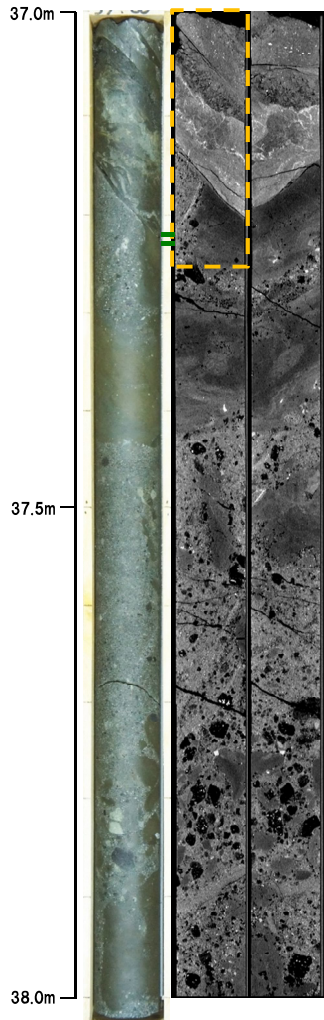
1mm

# F-1断層の可能性を有する劣化部

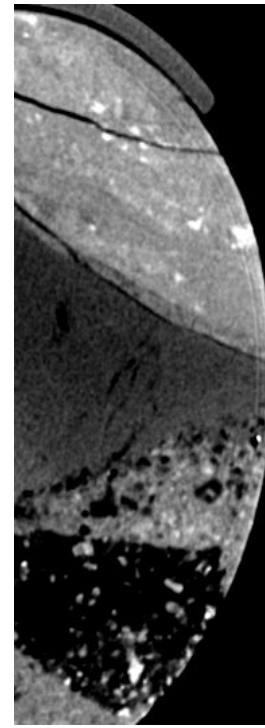
R1敷地-5ボーリング (37.19m) -X線CT画像観察結果-

一部修正 (R1/11/7審査会合)

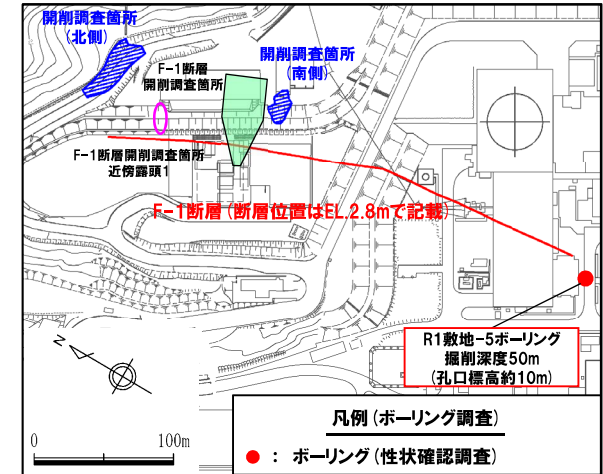
○X線CT画像観察の結果, 連続する直線的な低密度部は認められない。



5cm  
傾斜方向断面

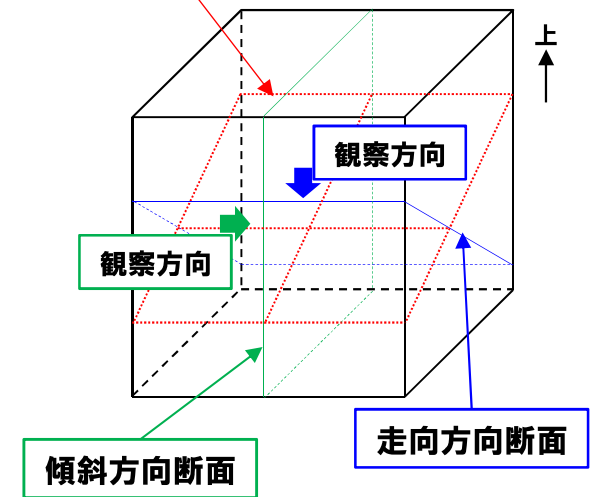


2.5cm  
走向方向断面



調査位置図

破碎帯中の面



: 固結した粘土を伴う割れ目  
 : 傾斜方向断面位置

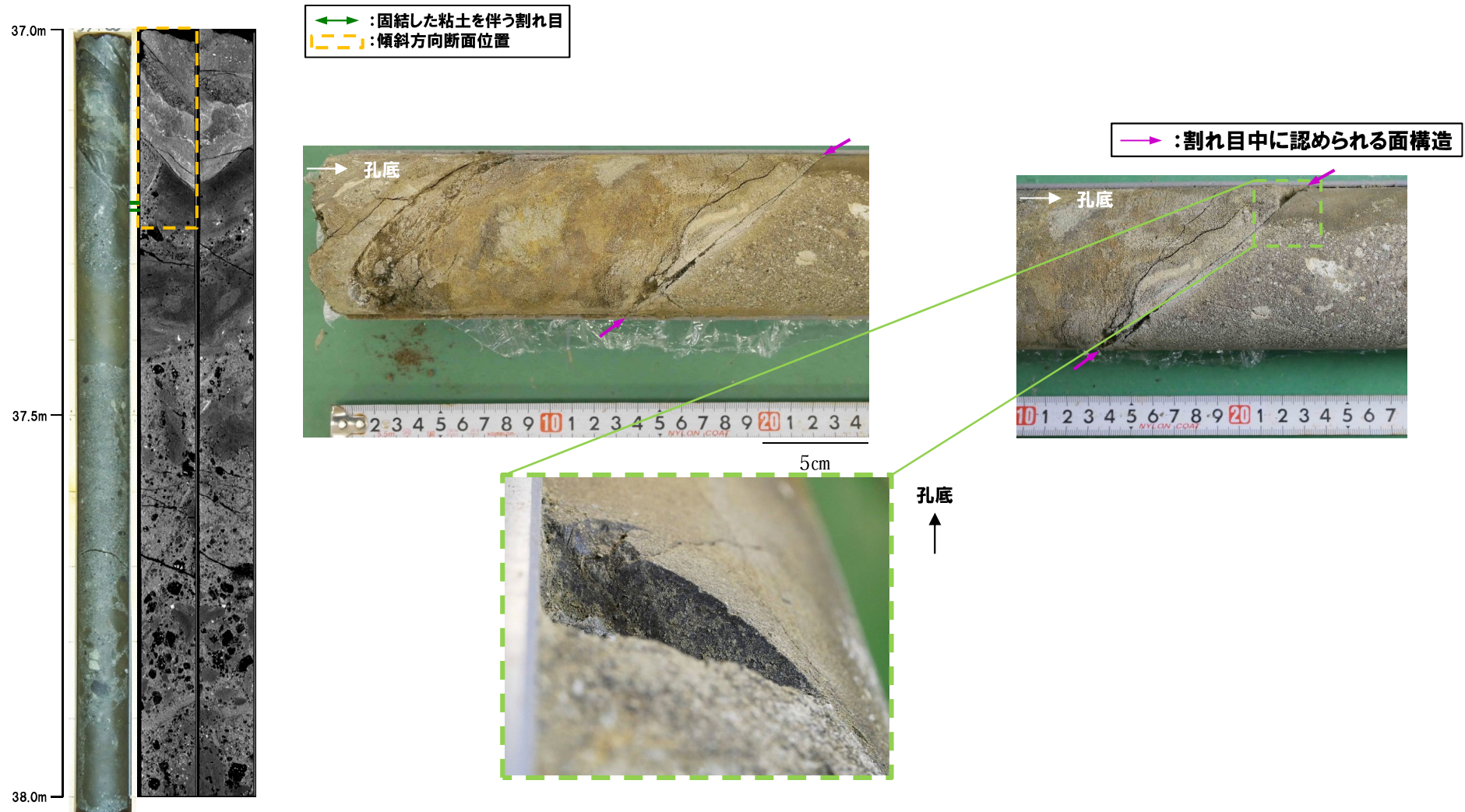


## F-1断層の可能性を有する劣化部

R1敷地-5ボーリング (37.19m) -条線観察結果-

再掲 (R1/11/7審査会合)

- 割れ目中の面構造を浅部側から深部側へ観察を行った。
- 硬質粘土の挟在が認められる。
- 当該面は平滑に剥離するものの、条線及び鏡肌は認められない。

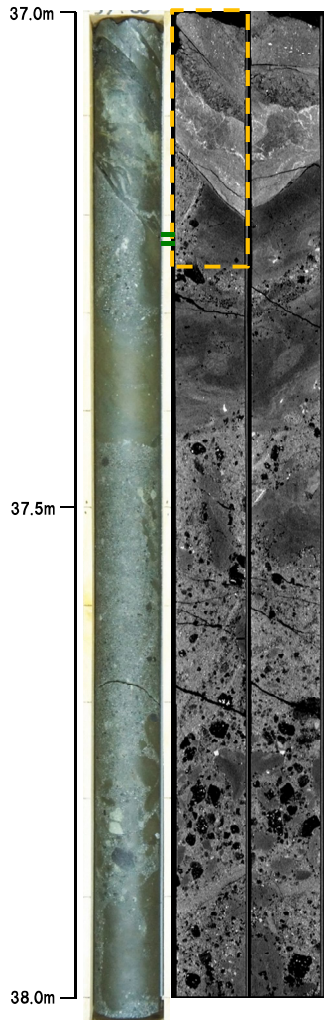


# F-1断層の可能性を有する劣化部

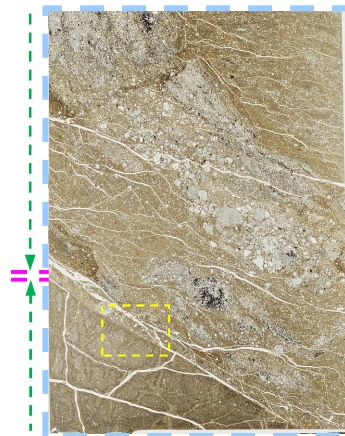
R1敷地-5ボーリング (37.19m) -走向方向薄片観察結果 (1/2) -

再掲 (R1/11/7審査会合)

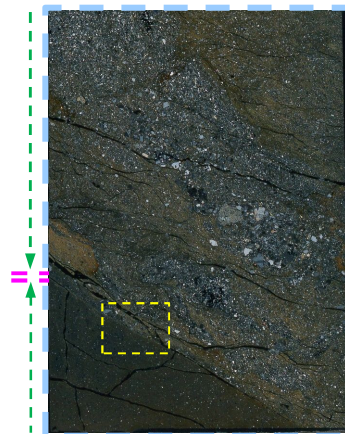
- 固結した粘土状破碎部は、直線的に分布する。
- 粘土状破碎部には左横ずれ断層センスを示すP面が認められる。



走向方向研磨片

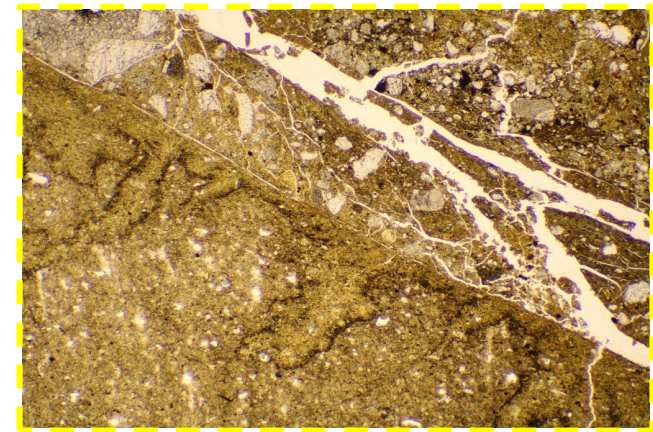


オープンニコル 10mm



クロスニコル 10mm

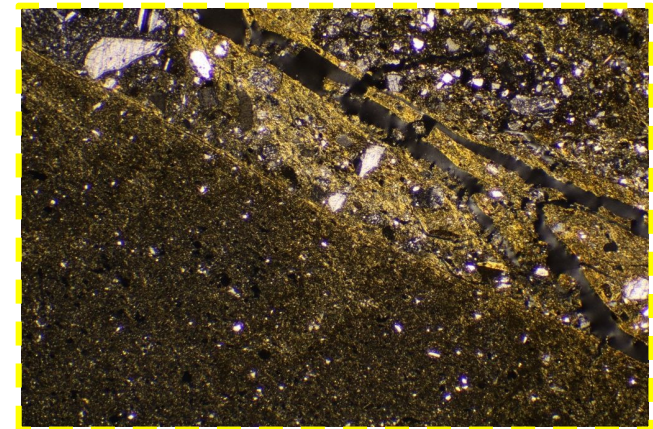
<拡大写真>



オープンニコル

1mm

<拡大写真>



クロスニコル

1mm

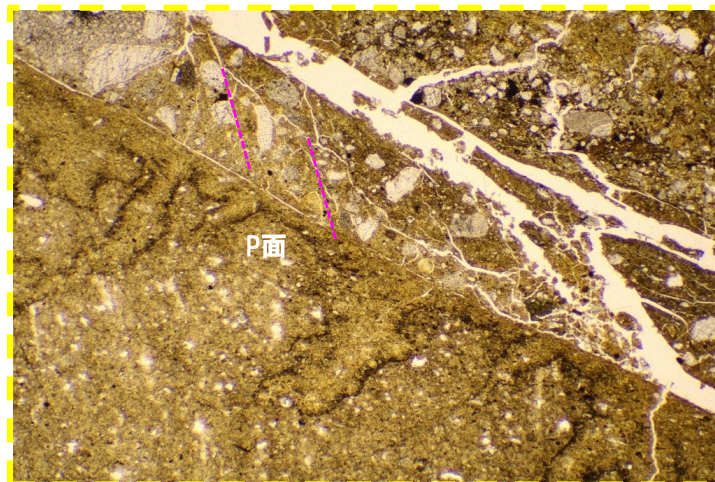
: 固結した粘土を伴う割れ目  
 : 傾斜方向断面位置

: 固結した粘土状破碎部  
 : 固結した角礫状破碎部

## F-1断層の可能性を有する劣化部

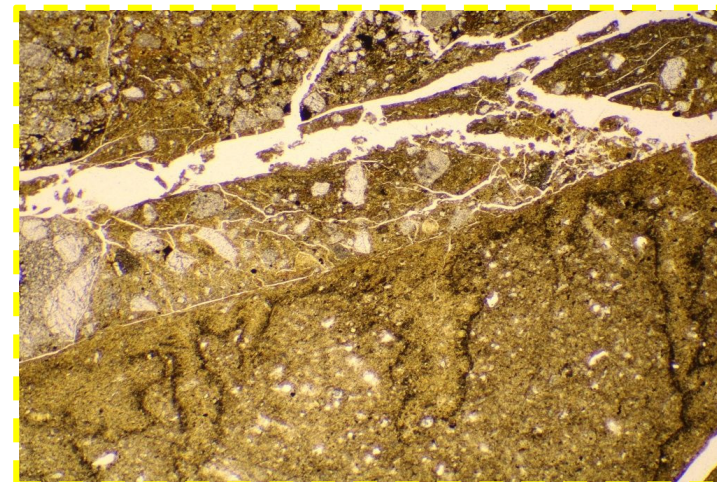
R1敷地-5ボーリング (37.19m) - 走向方向薄片観察結果 (2/2) -

再掲 (R1/11/7審査会合)



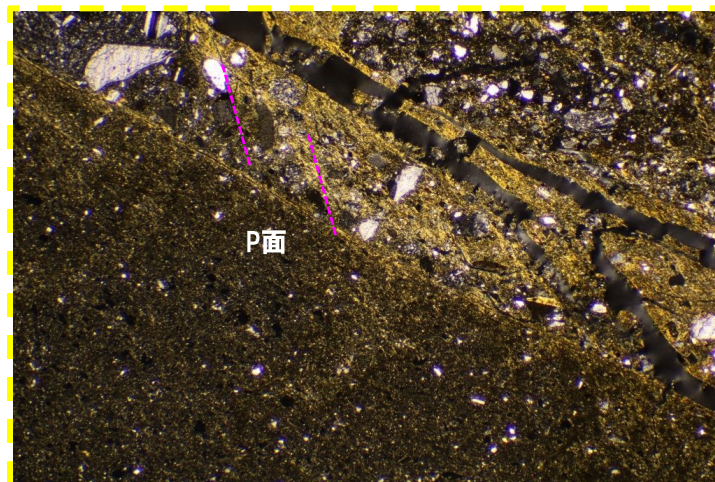
オープンニコル

1mm



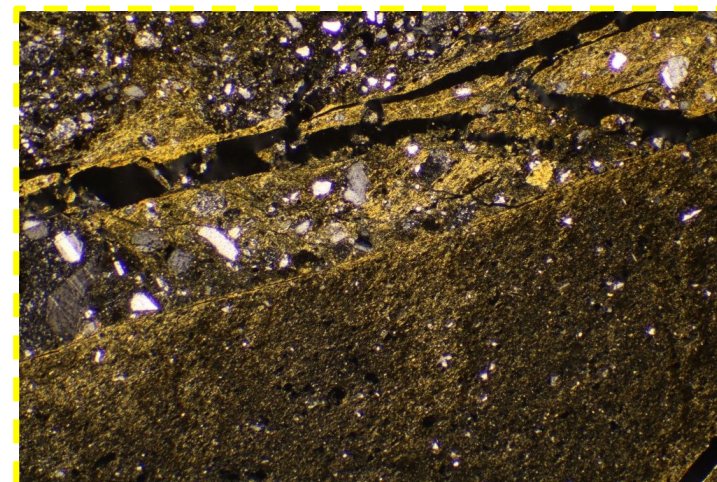
オープンニコル (左に45° 回転)

1mm



クロスニコル

1mm



クロスニコル (左に45° 回転)

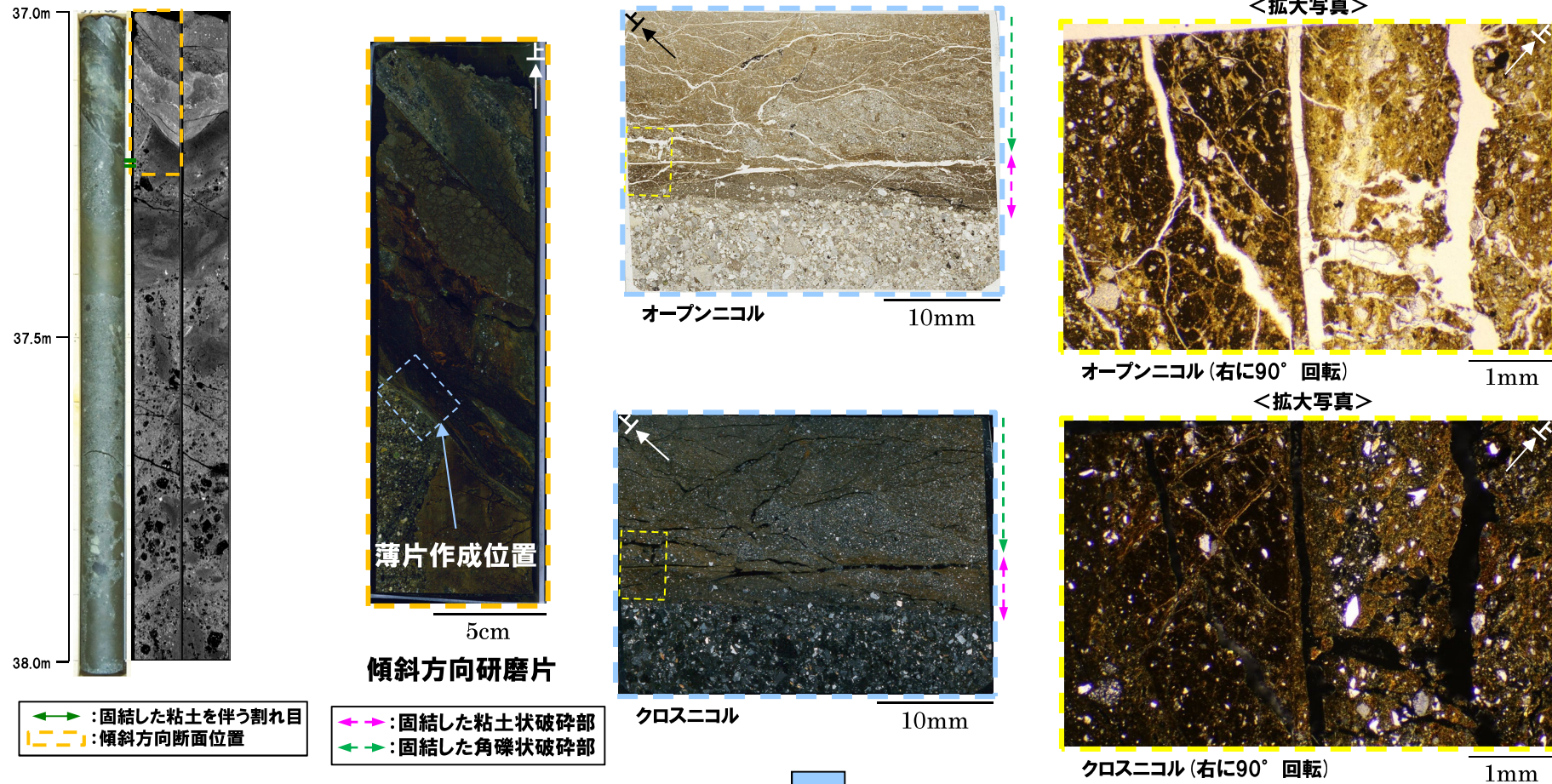
1mm

## F-1断層の可能性を有する劣化部

R1敷地-5ボーリング (37.19m) - 傾斜方向薄片観察結果 (1/2) -

再掲 (R1/11/7審査会合)

- 固結した粘土状破碎部は直線的に連続し、周辺では細粒化が認められる。
- 粘土状破碎部周辺では、逆断層センスを示すP面が認められる。

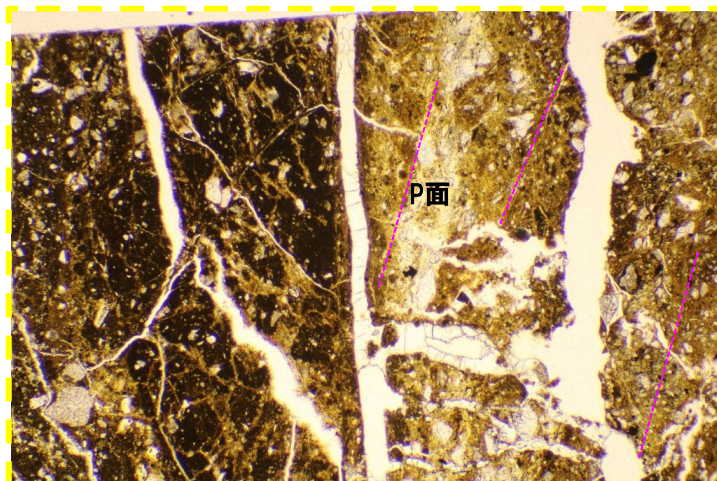


- 当該割れ目は、逆断層センスを示す複合面構造が認められるが、粘土は硬質であることが、X線CT画像観察においても確認されることから、当該割れ目が劣化部に認定されないとの評価は妥当と考えられる。

## F-1断層の可能性を有する劣化部

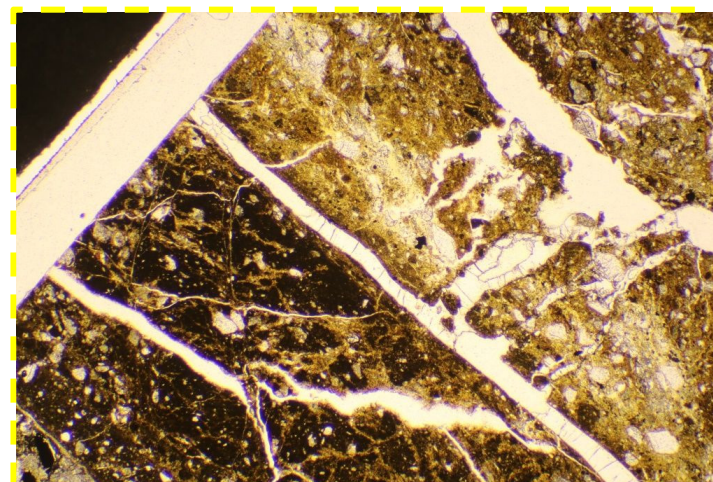
R1敷地-5ボーリング (37.19m) - 傾斜方向薄片観察結果 (2/2) -

再掲 (R1/11/7審査会合)



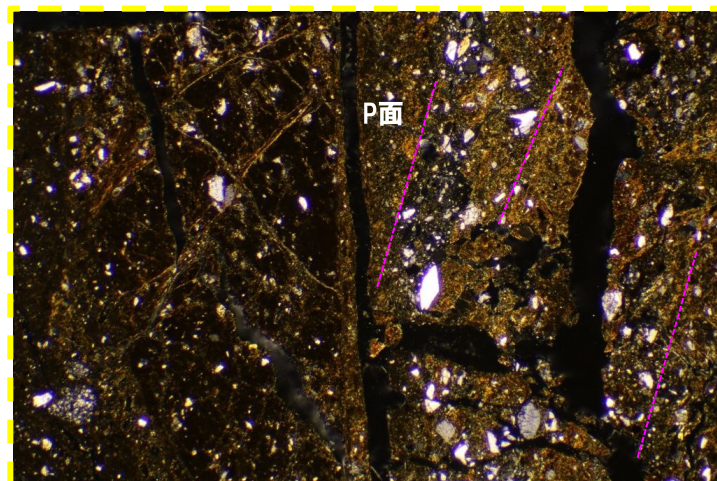
オープンニコル

1mm



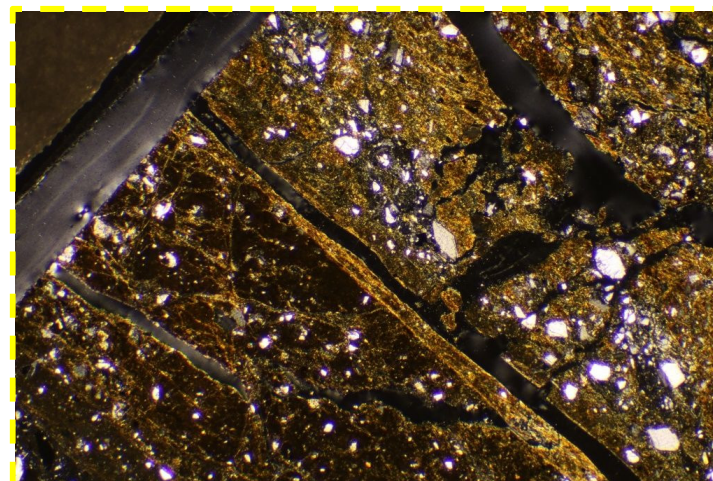
オープンニコル (左に45° 回転)

1mm



クロスニコル

1mm



クロスニコル (左に45° 回転)

1mm

**R1敷地-6ボーリング**

## F-1断層の可能性を有する劣化部

### R1敷地-6ボーリング-まとめ-

再掲 (R1/11/7審査会合)

- F-1断層推定深度(約106m)付近において、劣化部※(約133.20~133.90m及び約134.75~134.90m)が認められる。
- 当該劣化部は、走向・傾斜がN27° W/66° W及びN5° W/63° Wであり、F-1断層と類似することから、F-1断層の可能性が考えられる。
- 当該劣化部中の深度133.65m及び134.81mに認められる破碎帯について、X線CT画像観察、条線観察及び薄片観察により、変位センス及び性状を確認した。

○R1敷地-6ボーリング調査の結果、それぞれの破碎帯は各種観察において以下のような特徴が認められる。

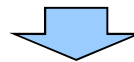
#### 深度133.65m

- ・ボーリングコア観察の結果、劣化部が認められ、連続する直線的な面構造を伴う。
- ・X線CT画像観察の結果、低密度帯が認められ、連続する直線的な低密度部を伴う。
- ・条線観察の結果、厚さ約2~5mmの軟質粘土を挟在し、条線を伴う平滑な面構造が認められ、レイク角は70° Lである。
- ・薄片観察の結果、直線的な分布を示す粘土状破碎部が認められ、下盤側では細粒化が認められるが、逆断層センスを示す複合面構造は認められない。

#### 深度134.81m

- ・ボーリングコア観察の結果、劣化部が認められ、連続する直線的な面構造を伴う。
- ・X線CT画像観察の結果、低密度帯が認められ、やや不明瞭なものの、連続する直線的な低密度部を伴う。
- ・条線観察の結果、厚さ約1~5mmの軟質粘土を挟在し、条線を伴う平滑な面構造が認められ、レイク角は70° Lである。
- ・薄片観察の結果、直線的な分布を示す粘土状破碎部が認められ、下盤側では細粒化が認められ、逆断層センスを示す複合面構造が認められる。

※未固結な粘土を挟在若しくは付着する割れ目及びその周辺に分布する節理、裂かを伴う帯



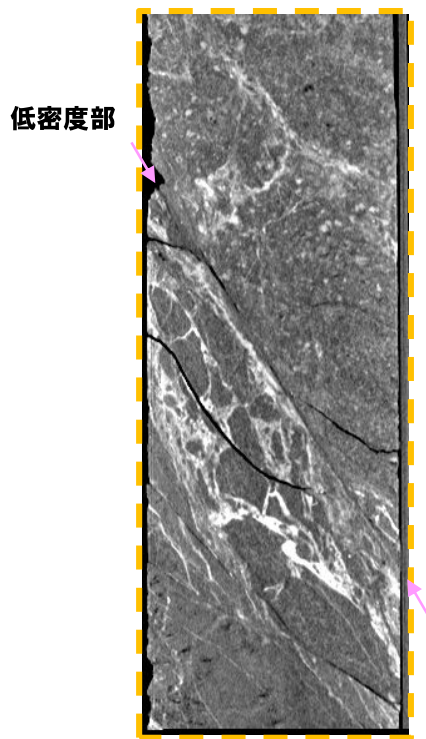
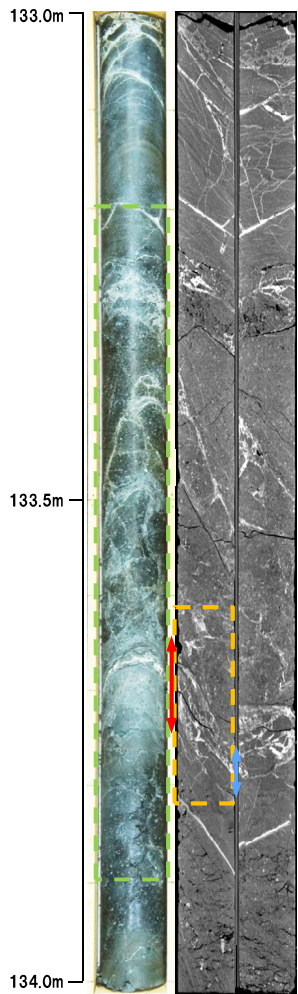
○X線CT画像観察、条線観察及び薄片観察の結果、深度134.81mの破碎帯はF-1断層の最新活動部であると判断される。

# F-1断層の可能性を有する劣化部

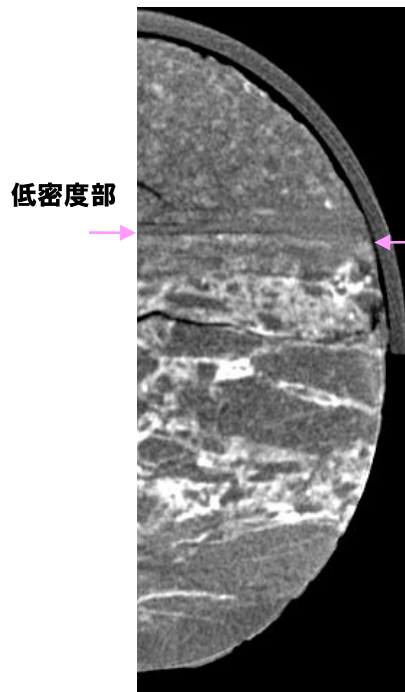
## R1敷地-6ボーリング (133.65m) -X線CT画像観察結果-

一部修正 (R1/11/7審査会合)

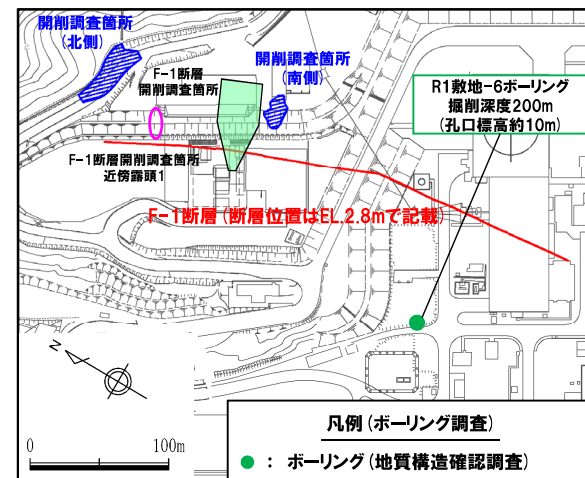
○X線CT画像観察の結果, 連続する直線的な低密度部が認められる。



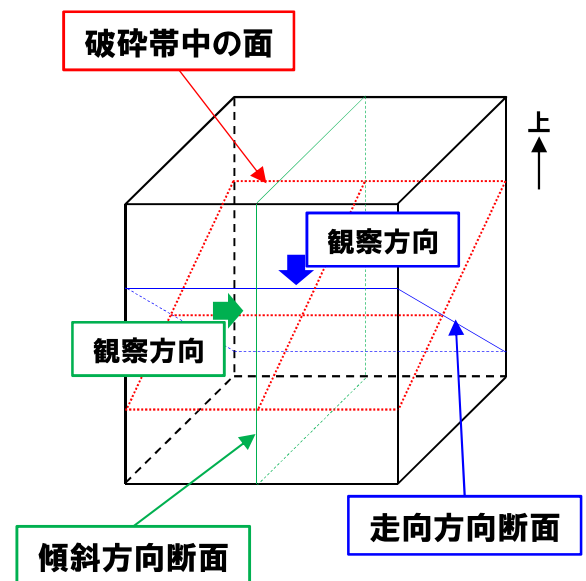
5cm  
傾斜方向断面



2.5cm  
走向方向断面



調査位置図



- ←→ : 低密度帯
- : 破碎帯
- : 劣化部
- - - : 傾斜方向断面位置

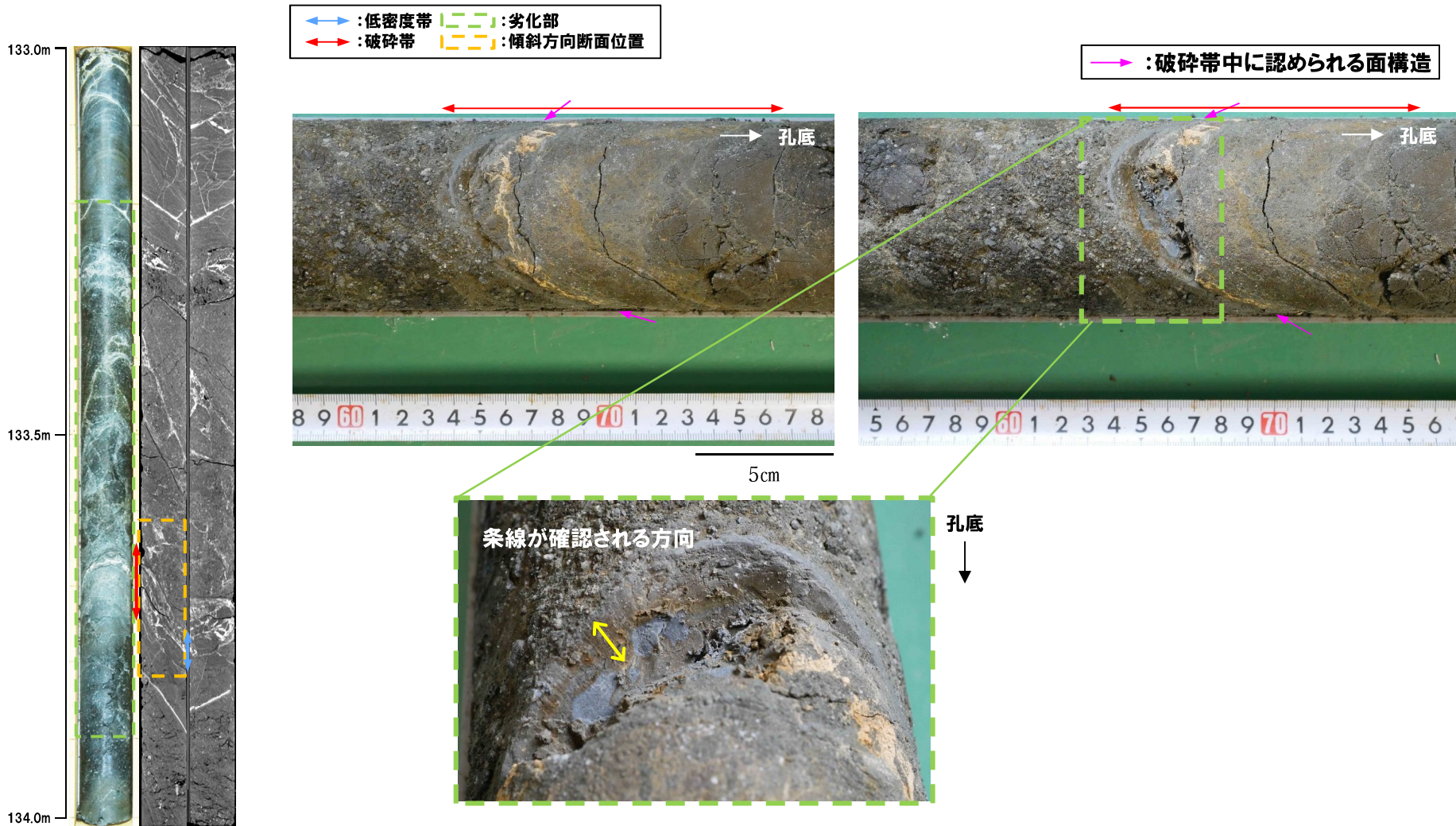


# F-1断層の可能性を有する劣化部

R1敷地-6ボーリング (133.65m) - 条線観察結果 -

再掲 (R1/11/7審査会合)

- 破碎帯中に認められる面構造を深部側から浅部側へ観察を行った。
- 厚さ約2~5mmの軟質粘土の挟在が認められる。
- 最急勾配方向と約20° 斜交する条線が認められ、浅部から深部方向に読み直すとレイク角は70° Lとなる。

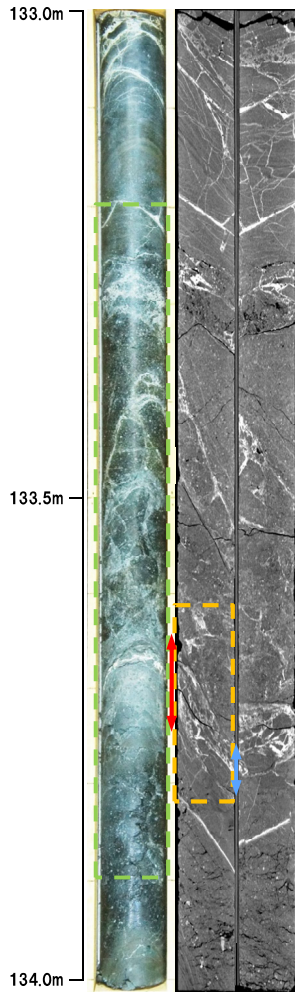


# F-1断層の可能性を有する劣化部

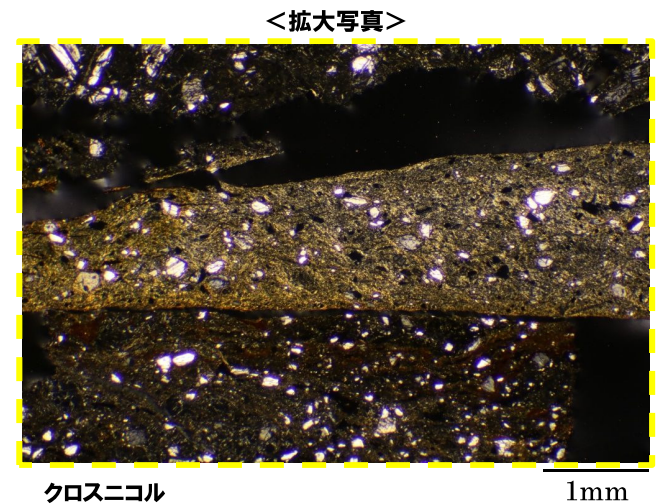
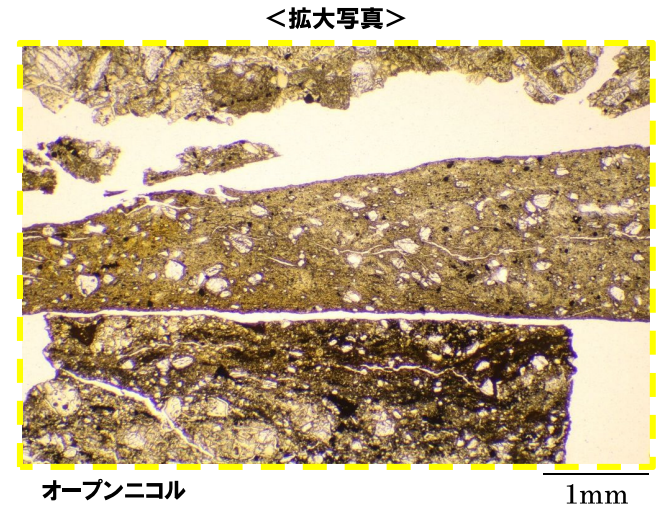
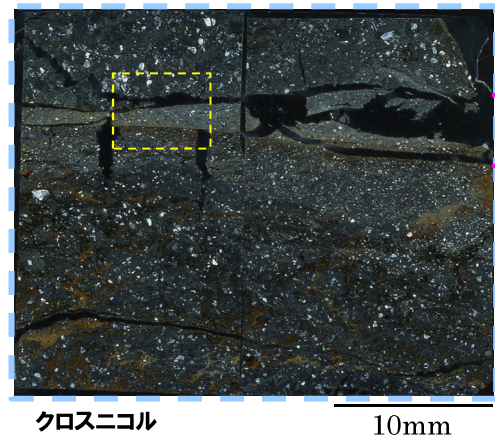
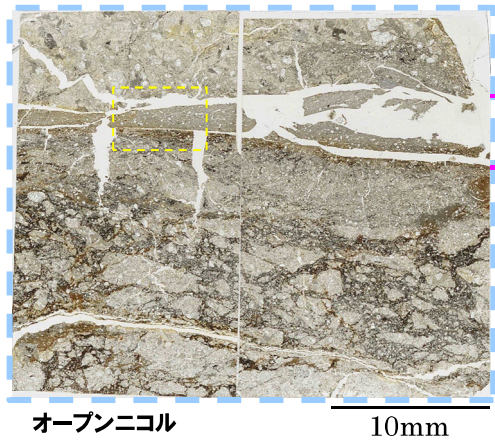
R1敷地-6ボーリング (133.65m) - 走向方向薄片観察結果 (1/2) -

再掲 (R1/11/7審査会合)

- 粘土状破碎部は直線的に連続し、下盤側では細粒化が認められる。
- 変位センスを示す明瞭な複合面構造は認められない。



走向方向研磨片



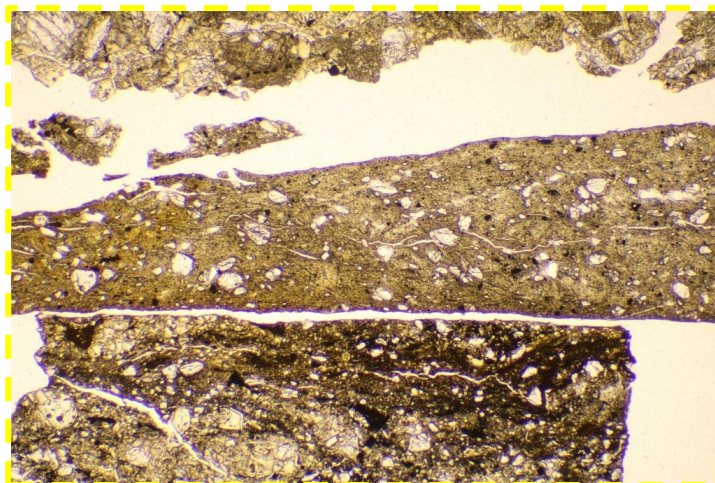
←→ : 低密度帯    - - - : 劣化部  
←→ : 破碎帯    - - - : 傾斜方向断面位置

↔ : 粘土状破碎部  
↔ : 固結した粘土状破碎部  
↔ : 固結した角礫状破碎部

## F-1断層の可能性を有する劣化部

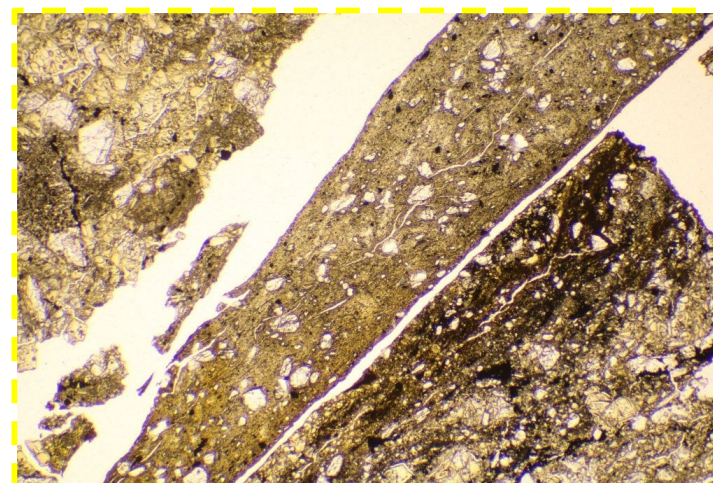
R1敷地-6ボーリング (133.65m) - 走向方向薄片観察結果 (2/2) -

再掲 (R1/11/7審査会合)



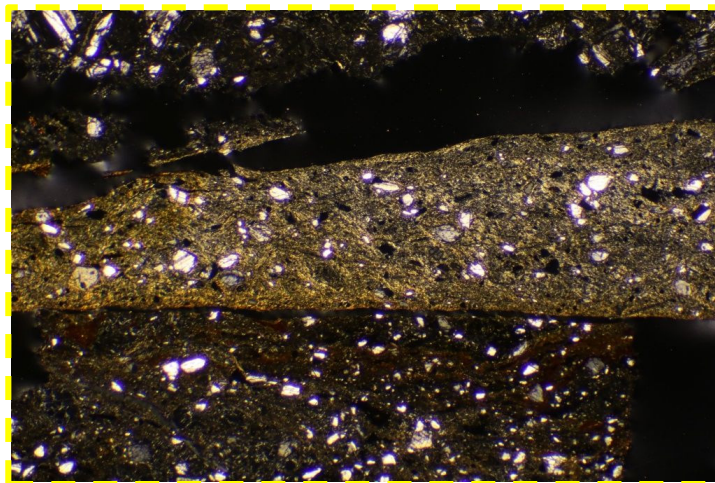
オープンニコル

1mm



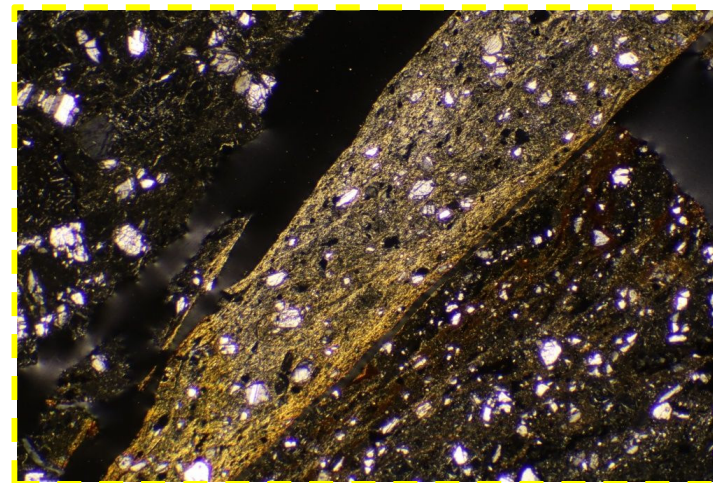
オープンニコル (左に45° 回転)

1mm



クロスニコル

1mm



クロスニコル (左に45° 回転)

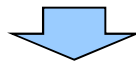
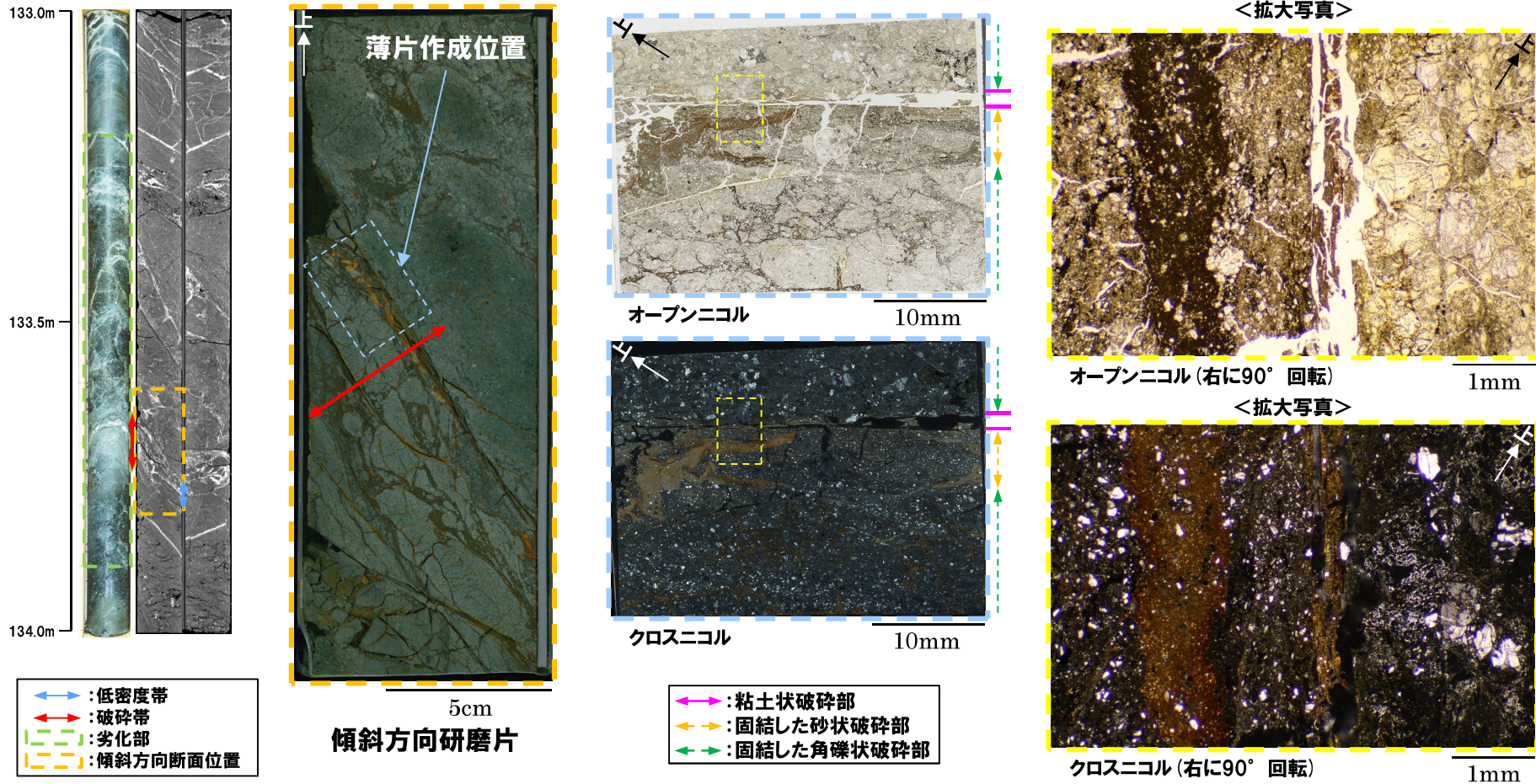
1mm

# F-1断層の可能性を有する劣化部

R1敷地-6ボーリング (133.65m) - 傾斜方向薄片観察結果 (1/2) -

再掲 (R1/11/7審査会合)

- 粘土状破碎部は直線的に連続し、下盤側では細粒化が認められる。
- 変位センスを示す明瞭な複合面構造は認められない。



○X線CT画像観察, 条線観察及び薄片観察の結果, 当該破碎帯はF-1断層の最新活動部ではないと判断される。